

RÉPUBLIQUE DU SÉNÉGAL



ÉCOLE POLYTECHNIQUE DE THIÈS

9m.0295

PROJET DE FIN D'ETUDES

EN VUE DE L'OBTENTION DU DIPLÔME D'INGÉNIEUR DE CONCEPTION

TITRE : OPTIMISATION DES INSTALLATIONS  
ELECTRIQUES DE LA SEIB  
DIOURBEL

AUTEUR : Moustapha MBAYE

DIRECTEURS :

Igor SABATIN (EPT) Seydina A. DIA (SEIB)

DATE : MAI 1987

Génie ; Mécanique

A mes parents,  
amis  
et tous ceux  
qui sont au  
Service du  
développement  
de notre cher  
SENEGAL

## Remerciements

Je tiens à remercier messieurs Seydina A. Dia , Makane Mbaye , Adama Mbaye , Diéye , Khadim Guèye et tout le personnel du Bureau Technique de la SEIB pour leur suggestions et leurs participations actives sur le fond et la forme de la présente étude.

Je remercie aussi Monsieur Igor Sabatin pour son encadrement et pour le long travail de correction dont il s'est chargé .

Mes remerciements vont aussi à toutes les personnes qui , de près ou de loin , ont contribué à l'élaboration de ce travail .

Il me fait aussi plaisir de mentionner mes collègues qui ont accepté de donner leurs impressions sur la rédaction de ce présent document .

# Sommaire

Le schéma de la distribution général notamment les puissances appelées, les courbes de charges, et la planification de la production d'énergie électrique ont été analysés (chapitre 2).

Le calcul des courants de court-circuit, la vérification de la stabilité thermique, du risque et du pouvoir de coupure de l'appareillage, ainsi que le réglage des relais de protection sont présentés au chapitre 3.

Le choix des câbles MT et BT existants a été fait selon les valeurs admissibles, de la chute de tension et de l'échauffement en régime normal ou de court-circuit (chapitre 4).

Un bouclage en BT des transformateurs de distribution a été étudié pour améliorer la fiabilité et le facteur de puissance. L'appareillage et les câbles d'interconnexion ont été dimensionnés suivant les critères cités (chapitre 5).

L'étude technico-économique, de la compensation de l'énergie réactive, a permis de trouver plusieurs solutions pour les cas d'alimentation par le poste SENELEC ou par les groupes électrogènes (chapitre 6).

Les conclusions de l'étude, exposées au chapitre 7, permettent une rationalisation technique et économique de l'exploitation des installations électriques de la SEIB.

# Table des matières

Remerciements	I
Sommaire	II
Table des matières	III
Chapitre 1	
Introduction	1
Chapitre 2	
Schéma général de la distribution de l'énergie électrique	3
2.1 Installation de production de l'énergie	3
2.2 Planification	4
2.2.1 Estimation de la puissance d'utilisation	4
2.2.2 Analyse des courbes de charge	6
2.2.3 Planification de la production d'énergie électrique	7

2.3	Distribution de l'énergie électrique	8
2.4	Conclusion	9
Chapitre 3 :	Calcul des courants de court-circuit dans les installations électriques	10
3.1	Description de la méthode de calcul	10
3.2	Calcul des courants de court-circuit	12
3.3	Calcul des courts de court-circuit minimum	20
3.4	Conclusion	22
Chapitre 4 :	Vérification du choix des câbles	23
4.1	Câbles MT	24
4.2	Câbles BT	27
4.3	Interconnexions des départs BT	31
4.4	Conclusion	33
Chapitre 5 :	Etude du bouclage des circuits BT	35
5.1	Avantages du bouclage	35
5.1.1	Possibilité d'alimentation des récepteurs	35
5.1.2	Economie réalisable en intercampagne	36
5.1.3	Augmentation naturelle du facteur de puissance	36
5.2	Calcul des courants de court-circuit	37
5.2.1	Cas de deux transformateurs en parallèle	37

5.2.2	Cas de trois transformateurs en parallèle	39
5.3	Choix de l'appareillage supplémentaire	45
5.3.1	Choix des sectionneurs	45
5.3.2	Choix des interrupteurs	45
5.3.3	Estimation du coût total du bouclage	46
5.4	Manœuvre en régime d'avarie	47
5.5	Conclusion	49
<b>Chapitre 6 :</b>	<b>Compensation de l'énergie réactive</b>	<b>50</b>
6.1	L'énergie réactive	50
6.1.1	L'énergie réactive en régime sinusoïdal	51
6.1.2	Facteur de puissance	52
6.2	Inconvénients d'un faible facteur de puissance	53
6.2.1	Intensité plus élevée que celle nécessaire au travail réel fourni	53
6.2.2	Augmentation des pertes en ligne	54
6.2.3	Diminution de la puissance disponible active au transformateur ou à la source d'alimentation.	54
6.2.4	Augmentation de la chute de tension	55

6.3	Causes des faibles valeurs du cos φ	56
6.3.1	Hausse du choix des moteurs asynchrones	57
6.3.2	Réparation et entretien des moteurs	57
6.4	Méthodes de compensation de l'énergie réactive	58
6.4.1	La méthode naturelle	58
6.4.2	La méthode artificielle	60
6.4.2.1	Machines tournantes	60
6.4.2.2	Condensateurs	60
6.5	Évaluation de la consommation d'énergie réactive - Economie réalisable.	61
6.6	Optimisation économique des batteries de condensateurs	64
6.6.1	Politique générale de la compensation de l'énergie réactive	64
6.6.2	Délai de récupération	65
6.6.3	Détermination des batteries de condensateurs	66
6.7	Conclusion	72
Chapitre 7 :	Conclusions et recommandations	73
<u>Annexes</u> :	1 , 2 , 3	79
<u>Annexe 1</u> :	Caractéristiques électriques des récepteurs et sources	80

<u>Annexe</u>	<u>2</u>	: Estimation des puissances d'utilisation	87
<u>Annexe</u>	<u>3</u>	: Relevés des productions et consommations d'énergie électrique (1982 à 1986 ) Mesures réalisées sur les départs BT (Janvier - Février 1987)	92
Bibliographie			106

### Liste des plans.

- N° PFE - 001 : Schéma général de la distribution  
d'énergie électrique - SEIB.  
N° PFE - 002 : Schéma du bouclage envisagé.

# chapitre premier

## Introduction

### Avant - propos

Les récentes augmentations , du prix de l'énergie électrique ont mis l'accent sur la nécessité , d'une amélioration du rendement des installations . Cette préoccupation est d'abord motivée par le souci , de ne pas gaspiller des ressources qui pourrait faire défaut à plus ou moins long terme , mais il l'est aussi par le désir de pratiquer une meilleure gestion .

Dans , cette dernière façon de voir les choses , on sera amené à considérer , d'une part , le coût des portes électriques pendant toute la durée de l'exploitation et le prix des dispositifs supplémentaires ou des surdimensionnements , contribuant à l'amélioration du rendement , d'autre part .

Une théorie générale pourrait être envisagée mais elle conduirait à d'importants développements mathématiques faisant intervenir de nombreux paramètres . Un petit nombre de personnes y trouverait une satisfaction de l'esprit , mais cette façon de procéder ne permettrait pas de sensibiliser , à ces problèmes les exploitants de réseaux industriels . Par conséquent nous avons essayé autant que faire s'est pu , de ne pas faire de longs développements mathématiques .

## Énoncé du problème.

Nous nous sommes proposés, d'étudier, sur le cas précis des installations électriques de la S.E.I.B., la recherche des caractéristiques optimales, sur le plan technico-économique, à donner à son réseau de distribution d'énergie électrique, qui est autonome en régime normal.

Pour améliorer le rendement de ce réseau, nous devons réduire les pertes, dans les câbles, d'alimentation. Deux moyens sont disponibles :

- augmenter la section des câbles
- améliorer le facteur de puissance des récepteurs.

Dans le cas d'une installation déjà existante (SEIB) à améliorer, nous constatons aisément que pour réduire les pertes, il n'est pas question d'augmenter la section des câbles déjà installés mais le courant qui les parcourt peut être réduit en augmentant le facteur de puissance.

Pour se faire, nous avons proposé deux méthodes d'augmenter le facteur de puissance : installer des batteries de condensateur ou augmenter le facteur de charge des transformateurs et récepteurs.

Cette étude nous a montré que dans la conjoncture actuelle où le coût de l'énergie a une incidence accrue, il est nécessaire de remettre en cause nos méthodes de choix des constituants des réseaux électriques.

## Chapitre 2

### Schéma général de la distribution de l'énergie électrique

#### 2.1 Installations de production de l'énergie.

Le réseau de distribution de l'eau est alimenté par trois alternateurs : un turbo-alternateur d'une puissance de 4375 kVA et deux groupes électrogènes de 1100 kVA chacun.

La SENELEC n'intervient, qu'en cas de panne pour une puissance de 50 kVA. Pour plus de détails, consulter le schéma unifilaire (PFE 2001) et l'annexe 1.

Ces trois alternateurs débitent en parallèle sur les jeux de barres 6600 V qui alimentent les trois transformateurs des départs principaux.

La planification de la production est faite en fonction de la demande d'énergie qui est très variable d'une période à l'autre. En période de campagne agricole (Janvier à Juin, Juillet) la production est maximale tandis que durant l'autre période elle est moyenne.

Les caractéristiques des différents récepteurs sont présentées dans l'annexe 1.

## 2.2 Planification

### 2.2.1 Estimation de la puissance d'utilisation.

Elle est plus faible que la puissance installée. Son estimation qui permet, au stade de la conception, d'évaluer la puissance de la source ou celle à consommer, requiert la connaissance des éléments suivants :

- la puissance installée de chaque récepteur
- le facteur d'utilisation maximale de chaque récepteur
- le facteur de simultanéité d'un groupe de récepteurs
- et enfin le facteur d'extension.

Ainsi, comme tous les récepteurs installés ne fonctionnent pas simultanément et le régime de fonctionnement d'un récepteur peut être tel que la puissance réelle utilisée soit inférieure à sa puissance nominale, la puissance d'utilisation sera inférieure à la somme des puissances installées.

Le calcul de la puissance d'utilisation de toute l'usine est présenté en Annexe 2 .

Les puissances d'utilisation ainsi calculées permettent de vérifier la puissance des transformateurs et sources installées. Pour le départ C (centrale), le transformateur installé a une puissance apparente de 2000 kVA pour une puissance installée de 2382 kVA ; La puissance d'utilisation calculée est de 1176 kVA . Consulter le tableau suivant.

Tableau 2.1 : Comparaison des puissances

Départ	Puissance installée (kVA)	Puissance d'utilisation (kVA)	Puissance nominale transformateur (kVA) $P_n$	Marge ( <sup>**</sup> ) disponible (%) $P_n$
Centrale	2362	1176	2000	40
Trituration	1660	807	2000	60
Anneaux	1158	569	1000	43
Source	5180	2552	6575 <sup>(*)</sup>	61

(\*) Puissance nominale des sources d'énergie électrique disponible :

1 turbo alternateur : 4375 kVA

2 MAN Diesel : 1100 kVA x 2

(\*\*) Cette marge est calculée en supposant les pertes nulles (cas idéal)

Ce tableau sort de comparaison entre les puissances installées les puissances d'utilisation et la puissance nominale des transformateurs ou sources installées.

Sa dernière colonne montre que l'usine détient encore une disponibilité de puissance assez importante pour effectuer des extensions même en considérant les pertes dans la production et dans la consommation.

## 2.2.2 Analyse des courbes de charges.

Avec les données sur la production et la consommation mensuelle sur quatre années consécutives, nous pouvons constater que :

- La consommation maximale correspond à la période allant de Janvier à Juillet de chaque année.
- La consommation minimale, en moyenne correspond à la période allant du mois d'Avril au mois de Décembre.
- D'autre part la consommation d'énergie la plus grande durant ces quatre années correspond celle du mois de Juillet 1983. Elle s'élève à 1313.6 MWh.
- La consommation d'énergie la plus faible s'élève à 452.7 MWh dans le mois Décembre 1985.
- La consommation maximale du mois de Juillet 1983 correspond au fonctionnement du Turbo et d'un Diesel (alternateurs A<sub>1</sub> et A<sub>2</sub>), l'autre Diesel A<sub>3</sub> étant à l'arrêt durant tout le mois. Si l'on suppose que les deux alternateurs ont fonctionné en plein charge et sans pertes, la puissance totale produite est de (4375 kVA + 1100 kVA) soit 5475 kVA.

Par contre, le minimum de consommation du mois de Décembre 1985, est assuré par le fonctionnement des deux groupes Diesel soit, en supposant les mêmes hypothèses, une production totale de  $1100 \times 2$  kVA soit 2200 kVA.

### 2.2.3 Planification de la production d'énergie électrique :

Pour satisfaire la demande d'énergie électrique, il existe plusieurs possibilités :

- 1 - Faire fonctionner les trois alternateurs simultanément.
- 2 - Faire marcher le turbo alternateur et un seul groupe diesel
- 3 - Tourner avec le turbo alternateur seul
- 4 - Faire tourner les deux groupes électrogènes
- 5 - Ou enfin un seul groupe électrogène.

Il existe donc cinq combinaisons possibles des générateurs pour répondre à la demande. Les puissances maximales pouvant être produites, correspondant aux cinq arrangements, dans l'ordre ci-dessus, sont par ordre croissant : 6575, 5475, 4375, 2200 et 1100 kVA.

Ainsi l'une peut tourner avec l'une ou l'autre de ces puissances suivant la demande.

En consultant les relevés de la production, on peut constater que l'usine a fonctionné avec les trois alternateurs (possibilité 1) durant toute l'année 1982.

Durant les autres années 1983, 84 et 85, le turbo plus au moins un des groupes Diesel ont assuré la fourniture de l'énergie.

<sup>2</sup>  
L'estimation de la puissance d'utilisation et les relevés des années 1982, 83, 84 et 85 confirme qu'au pire, ds cas, l'usine devrait pouvoir tourner avec la possibilité 2.

Pour effectuer une planification économique de la production il faudrait d'abord recueillir des données statistiques sur la consommation d'énergie électrique et faire des prévisions de la consommation pour toute l'année. Ainsi en fonction de la période on choisira la possibilité la plus économique.

### 2.3 Distribution de l'énergie électrique.

La distribution de l'énergie électrique a une importance énorme dans les installations industrielles modernes : la qualité des installations est par conséquent primordiale.

La distribution adoptée dans le cas de la SEIB est radiale. Celle-ci a l'avantage d'être économique et plus facile à calculer. Cependant chaque "ensemble consommateur" n'est alimenté que par une seule ligne ; tout incident déclenchant les disjoncteurs ou fusibles entraîne l'arrêt de tout ce qui est situé en aval.

Pour augmenter la fiabilité et la flexibilité, le bouclage au niveau des jeux de barres BT peut être envisagé.

Ce point sera étudié aux chapitres 4 et 5

L'autre critique à l'égard de la distribution le facteur puissance très faible avec lequel l'usine tourne. Ce problème du facteur de puissance est l'objet du chapitre 6.

## 2.4 CONCLUSION.

Dans ce chapitre nous avons reconstitué le schéma général de la distribution de l'énergie électrique Plan PFE-001. Nous avons réévalué la puissance consommée en tenant compte des coefficients d'utilisation des récepteurs et de simultanéité des groupes de récepteurs. Ce dernier point nous a permis de revoir la capacité de la société à satisfaire la demande d'énergie électrique. Notre étude a montré que 60% de la puissance des groupes reste inexploitée ; Ce permet dans l'avenir de faire des extensions dès que le besoin se fait sentir.

Cependant pour augmenter la fiabilité et la flexibilité du réseau de distribution, nous étudierons l'interconnexion des jeux de barres basse tension aux chapitres 4 et 5

D'autre part les mesures réalisées et les relevés statistiques sur la production et la consommation montrent que le facteur de puissance est très faible inférieur à 70% dans la major partie des cas. Par conséquent les pertes restent très élevées devant la production (entre 12 et 20 % de cette production). Pour augmenter le rendement du réseau de distribution d'énergie électrique, nous proposons plus solutions exposées aux chapitres suivants .

# chapitre 3

## calcul des courants de court-circuit dans les installations électriques

La connaissance des courants de courts-circuits aux différents points d'une installation permet le dimensionnement ou la vérification des appareils chargés de la protection contre les surintensités.

En règle générale, le courant de court-circuit le plus élevé correspond au défaut triphasé dans une installation alimentée par un transformateur.

### 3.1. Description de la méthode de calcul

Nous utilisons la méthode des impédances relatives. Proposée par Rich (1), cette méthode repose sur la convention suivante :

"les impédances en ohms sont divisées par le carré de la tension, composée à laquelle est porté le réseau au point où elles sont en service ; elles deviennent des impédances relatives". La puissance de base est posée égale à 1 kVA.

- Pour les câbles et lignes les résistances et réactances relatives sont :

$$R_r = \frac{R_{\text{ohm}}^2}{U^2} \quad X_r = \frac{X_{\text{ohm}}}{U^2}$$

- Pour le transformateurs

$$Z_r = \frac{1}{P_n} \cdot \frac{U_{cc}}{100}$$

- Pour les alternateurs

$$Z_r = \frac{1}{P_n} \cdot \frac{e}{100}$$

Après la détermination de toutes les impédances relatives, la puissance de court-circuit s'établit d'après la relation :

$$P_{cc} = \frac{1}{\sum Z_r}$$

d'où  $I_{cc} = \frac{P_{cc}}{\sqrt{3} U}$        $U$  = tension au point du défaut

Procédure pratique: Nous calculons toutes les impédances, en déduisons les impédances relatives. Ainsi nous tracons le schéma d'impédance et toute les "extrémités" libres sont reliées entre elles. Ensuite nous connectons une source de valeur unitaire entre ce point commun et le point où l'on calcule le  $I_{cc}$ ; cette source délivre le  $I_{cc}$  recherché.

### 3.2 Calcul des courants de court-circuit

Nous supposons qu' tous les sources débitent simultanément au moment du défaut. C'est le cas le plus défavorable qui puisse se produire.

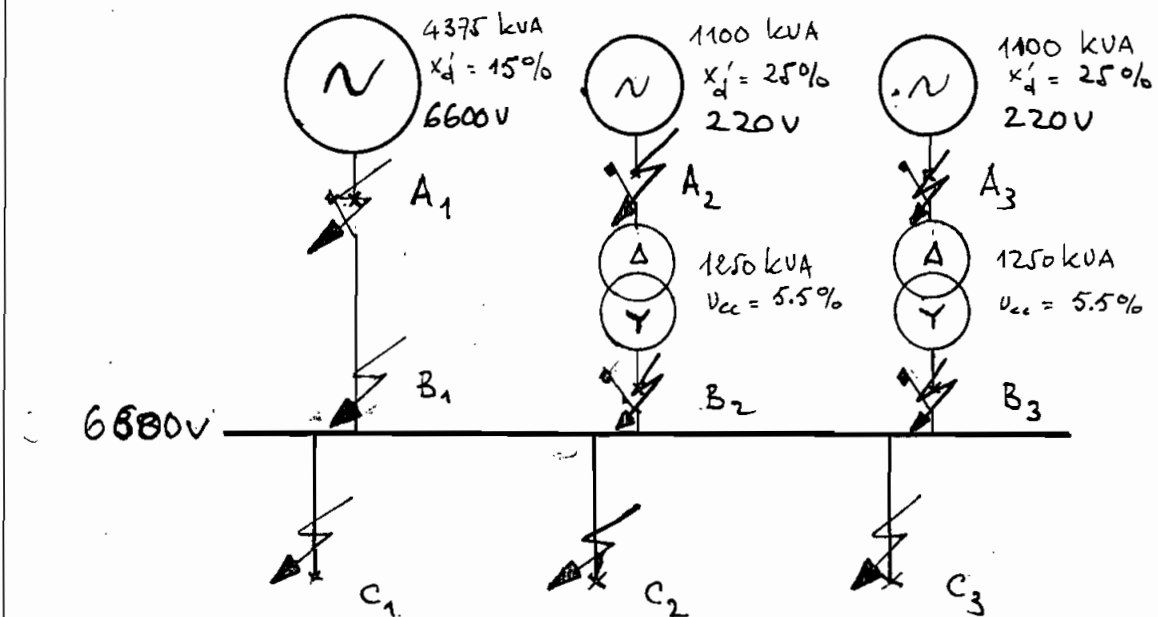
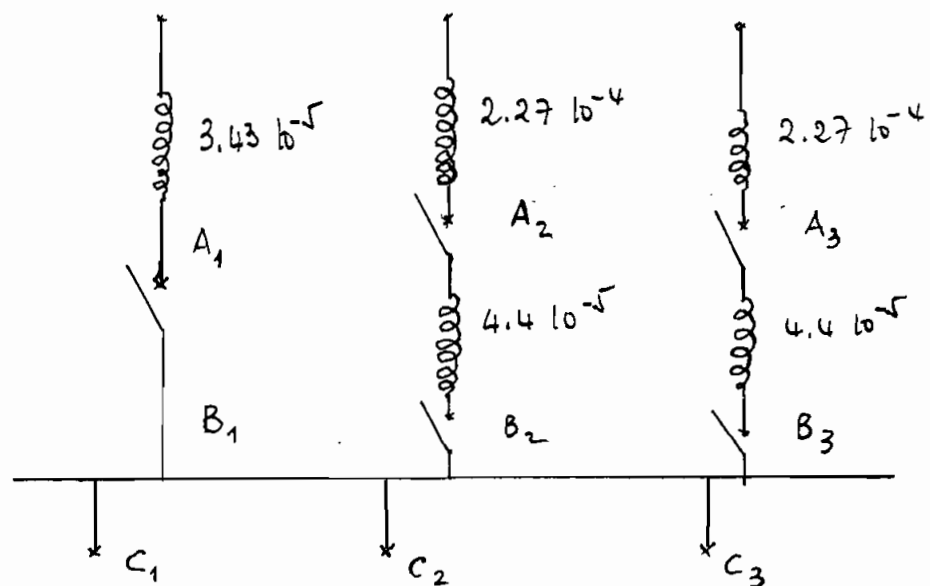


Schéma équivalent avec impédances relatives



Défaut en A<sub>2</sub> ou A<sub>3</sub>:

$$I_{cc} = \frac{I_n G}{x_d'} = \frac{2890}{0.21} = 11.56 \text{ kA}$$

$$\approx 12 \text{ kA}$$

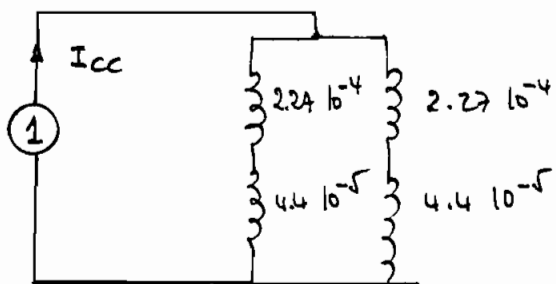
Défaut en B<sub>1</sub>:

- Si le turbo débite seul sur le défaut en B<sub>1</sub>

$$I_{cc} = \frac{I_n G}{x_d'} = \frac{383}{0.15} = 2.6 \text{ kA} \approx 3 \text{ kA}$$

Défaut en A<sub>1</sub>

- Si les deux MANS débloquent sur A<sub>1</sub>, on obtient le circuit suivant :



$$Z_{pu\text{tot}} = \frac{1}{2} (2.27 \cdot 10^{-4} + 4.4 \cdot 10^{-5}) = 1.355 \cdot 10^{-4}$$

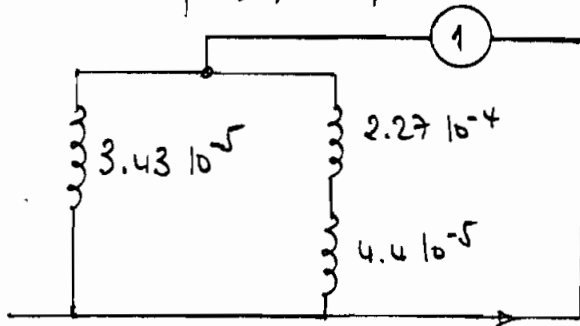
$$P_{cc} = \frac{1}{Z_{pu\text{tot}}} = 7.38 \text{ MVA.}$$

$$I_{cc} = \frac{P_{cc}}{\sqrt{3} U} = \frac{7.38 \cdot 10^3}{\sqrt{3} \cdot 6600} = 646 \text{ A}$$

Le disjoncteur installé en A<sub>1</sub> doit avoir un pouvoir de coupe au moins égal au I<sub>cc</sub> maximum. Dans ce cas I<sub>cc</sub><sub>B<sub>1</sub></sub> > I<sub>cc</sub><sub>A<sub>1</sub></sub> donc le disjoncteur doit avoir un PdC d'au moins 3 kA.

Défaut en  $B_2$  ou  $B_3$

Le schéma électrique des impédances est le suivant :



$$Z_{pu_{tot}} = 3.04 \cdot 10^{-5}$$

$$P_{cc} = \frac{1}{Z_{pu_{tot}}} = 32.8 \text{ MVA.}$$

$$I_{cc} = \frac{P_{cc}}{\sqrt{3} U} = \frac{32.8 \cdot 10^3}{\sqrt{3} \cdot 6600} = 2.87 \text{ kA} \approx 3 \text{ kA}$$

D'autre part le courant nominal du transformateur de 1250 kVA est d'environ 132 A sous 6600 V

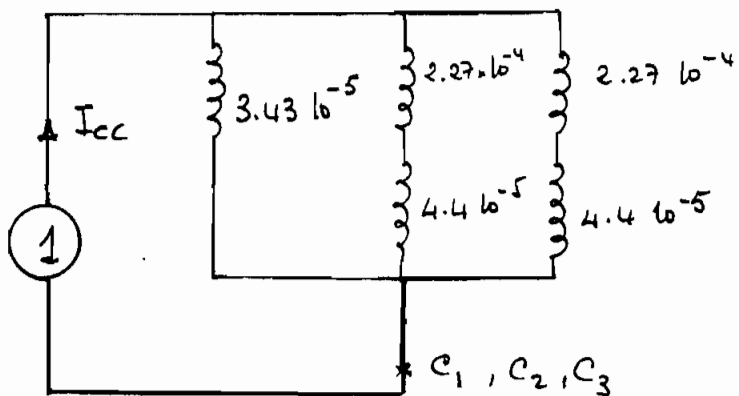
$$I_{cc} = \frac{I_n}{U_{cc}} = \frac{132}{0.055} = 2.4 \text{ kA.}$$

Les disjoncteurs placés en  $B_2$  et  $B_3$  doivent avoir un pouvoir de coupe au moins égal à 3 kA.

Défaut en  $C_1$ ,  $C_2$  ou  $C_3$ .

Le cas le plus défavorable est celui qui correspond au fonctionnement des trois alternateurs en parallèle.

Le circuit électrique correspond est représenté à la page suivante.



$$Z_{p_{tot}} = 1 / \left( \frac{1}{3.43 \cdot 10^{-5}} + \frac{1}{1.355 \cdot 10^{-4}} \right) = 2.74 \cdot 10^{-5}$$

$$P_{cc} = 36.6 \text{ MVA}$$

$$I_{cc} = \frac{1}{2.74 \cdot 10^{-5} \sqrt{3} \times 6600} = 3.2 \text{ kA}$$

Sous les disjoncteurs des départs MT (6600 V) doivent avoir un pouvoir de coupe supérieur ou égal à 3.2 kA eff.

Ainsi la puissance de court-circuit à l'amont des transformateurs des départs principaux sera prise comme étant la puissance de court-circuit aux points  $C_1$ ,  $C_2$  et  $C_3$ .

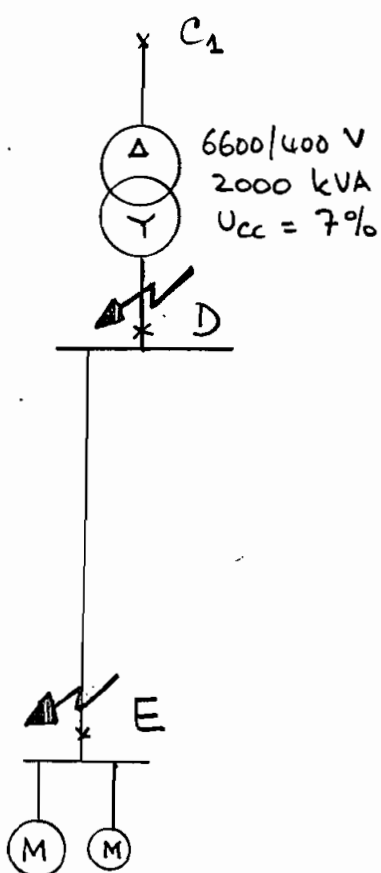
Elle est calculée ci-haut et vaut 36.6 MVA.

Maintenant nous abordons le problème par départ.

Dans chaque cas, nous déterminons le  $I_{cc}$  à l'aval du transformateur. Ce  $I_{cc}$  correspond au courant de court-circuit amont pour les départs secondaires correspondants.

Connaissant le  $I_{cc}$  amont, la section des conducteurs, et la longueur des canalisations, nous utilisons le Tableau 64 ou la règle d'évaluation de  $I_{cc}$  de MERLIN GERIN (2).

Départ "centrale": "C"



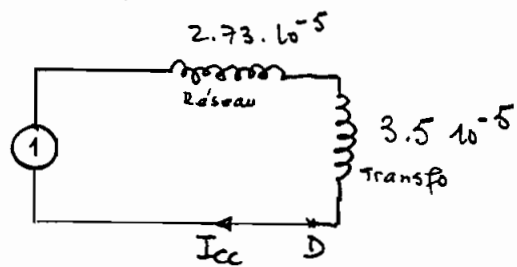
Réseau amont :  $P_{cc} = 36.6 \text{ MVA}$

$$Z_{pu} = \frac{1}{P_{cc}} = 2.73 \cdot 10^{-5}$$

$$\text{Transfo : } Z_{pu} = \frac{0.07}{2000} = 3.5 \cdot 10^{-5}$$

Défaut au point D :

Le schéma équivalent est le suivant :



$$Z_{pu}^{\text{tot}} = (2.73 + 3.5) \cdot 10^{-5} = 6.23 \cdot 10^{-5}$$

$$I_{cc} = \frac{1}{Z_{pu}^{\text{tot}} \cdot \sqrt{3} U} = \frac{1}{6.23 \cdot 10^{-5} \times \sqrt{3} \times 380}$$

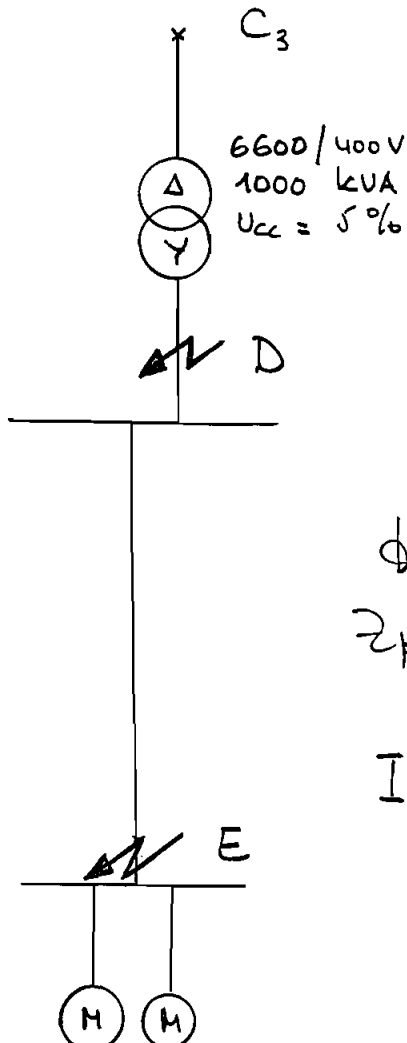
$$I_{cc} = 24.4 \text{ kA eff.}$$

Les résultats des calculs des courants de court-circuit au point E sont présentés sous forme de tableau pour chaque départ principal : "centrale", "Trituration" et "Annexes".

Départ "Trituration": T :  $I_{cc} = 24.4 \text{ kA eff}$  au point D.

Ce départ a les mêmes type et puissance que le départ "C".

Départ "Annexes" : "A"



Réseau amont:  $C_3$

$$P_{CC} = 36.6 \text{ MVA}$$

$$Z_{PU} = 2.73 \times 10^{-5}$$

Transformateur:

$$Z_{PT} = \frac{5\%}{1000} = 5 \cdot 10^{-5}$$

Défaut au point D.

$$Z_{PT_{tot}} = (2.73 + 5) \cdot 10^{-5} = 7.73 \cdot 10^{-5}$$

$$I_{CC} = \frac{1}{Z_{PT_{tot}} \times \sqrt{3} \times 11.00}$$

$$I_{CC} = 19.7 \text{ kA}_{eff}$$

les courants de court-circuit au point E sont présentés au tableau

Tableaux des  $I_{ccaval}$  : courants de court-circuit au niveau des disjoncteurs des départs secondaires pour chaque départ principal.

Tableau 3.1 : Départ "centrale" ;  $I_{cc\ amont} = 24.4 \text{ kA}_{eff}$

Départ secondaire	Cu Section (mm <sup>2</sup> )	Longueur (m)	$I_{cc\ aval}$ (kA <sub>eff</sub> )	Départ secondaire	Cu Section (mm <sup>2</sup> )	longueur (m)	$I_{cc\ aval}$ (kA <sub>eff</sub> )
Q2C	240	60	18	Q17C	25	150	< 5
Q3C	240	60	18	Q18C	10	100	< 5
Q4C	185	60	18	Q19C	120	70	14
Q5C	185	50	18	Q20C	150	60	18
Q6C	16	30	6	Q21C	120	100	11
Q7C	16	30	6	Q22C	130	200	6
Q8C	120	12	23	Q23C	25	60	< 5
Q9C	16	40	5	Q24C	95	40	18
Q10C	(95×2)	50	18	Q25C	-	60	-
Q11C	4	20	< 5	Q26C	16	60	< 5
Q12C	240	60	18	Q27C	6	60	< 5
Q13C	70	60	11	Q28C	6	60	< 5
Q14C	25	50	5	Q29C	16	30	6
Q15C	-	300	-	Q30C	150	300	6
Q16C	70	100	9	Q31C			
				Q32C			
				Q33C			

Tableau 3.2 Départ "Trituration"

$$I_{cc \text{ amont}} = 24.4 \text{ kA}_{\text{ef}}$$

Départ secondaire	Cu Section (mm²)	Longueur (m)	$I_{cc \text{ aval}}$ (kA <sub>ef</sub> )
Q2T	(150x2)	25	20
Q3T	(150x2)	25	20
Q4T	(150x2)	40	18
Q5T	(240x2)	110	14
Q6T	150	110	11
Q8T	35	110	5
Q9T	50	100	5
Q10T	16	150	5
Q11T	25	12	18
Q12T	25	100	5
Q7T	Supprimé		

Tableau 3.3 Départ "Annexes"

$$I_{cc \text{ amont}} = 19.7 \text{ kA}_{\text{ef}}$$

Départ secondaire	Cu Section (mm²)	Longueur (m)	$I_{cc \text{ aval}}$ (kA <sub>ef</sub> )
Q2A	10	30	5
Q3A	185	12	19
Q4A	150	40	16
Q5A	25	60	5
Q6A	16	70	5
Q7A	16	70	5
Q8A	16	60	5
Q9A	25	70	5
Q10A	10	70	5
Q11A	(240x2)	100	13
Q12A	300	100	16
Q13A	50	10	17
Q15A	16	40	5
Q14A	réserve non équipée		

### 3.3 calcul des courant de court-circuit minimum.

Dans le paragraphe précédent, nous n'avons tenu compte que du cas où un seul appareil assure la protection pour toute valeur du courant, depuis le courant de réglage thermique  $I_{rth}$  au pouvoir de coupe (PdC).

Dans certains circuits, l'association fusible-disjoncteur est adoptée pour assurer cette protection. Dans ce cas, le fusible doit satisfaire les conditions suivantes :

1. son PdC doit être supérieur ou égal au moins au courant de court-circuit triphasé.
2. Couper le courant minimum de court-circuit dans un temps  $t_c$  compatible avec la limite de contrainte thermique des conducteurs :  $t_c \leq \frac{k^2 S^2}{I_{cc\ min}}$  pour les temps  $t_c$  inférieurs à 5 secondes.

Cette dernière condition se traduit par :

$I_{cc\ min} > I_a$  pour la protection par fusible.  
 $I_a$  correspond au croisement de la courbe de fusion du fusible et de la courbe limite de contrainte thermique du conducteur.

Les fusibles utilisés sont de type αM.

Connaissant la section du câble et le calibre du fusible nous obtenons la longueur maximale protégée (longueur pour laquelle  $I_{cc\ min}$  sera supérieur à  $I_a$ ) à l'aide du tableau 53 AC de la norme NF-C 15-100.

Dans le tableau ci-dessous, nous comparons les longueurs réelles des circuits aux longueurs maximales protégées, contre les courts-circuits par des fusibles à M.

Tableau 3.4

Vérification  
de la coupure  
du courant  
de court-circuit  
minimum .

Départ	Section (mm <sup>2</sup> )	courant nominal fusible (A)	longueur réelle (m)	longueur protégeable (m)
Q6C	16	80	30	144
Q7C	16	80	30	144
Q9C	16	80	40	144
Q11C	4	40	20	55
Q17C	25	80	150	220
Q18C	10	40	100	140
Q23C	25	125	60	140
Q25C	16	80	60	144
Q29C	16	40	60	225
Q31C	6	40	60	100
Q32C	6	40	60	100
Q10T	16	60	150	180
Q12T	25	80	100	220
Q2A	10	80	30	70
Q6A	16	40	70	225
Q7A	16	80	70	144
Q8A	16	80	60	140
Q9A	25	80	70	220
Q10A	10	40	70	172
Q15A	16	80	40	144

### 3.4 Conclusion

Ce chapitre a été traité dans le but de permettre aux exploitants de disposer des valeurs des courants de court-circuit à tous les niveaux où doivent être installés les dispositifs de protection contre les courts-circuits fusibles ou disjoncteurs). Depuis l'alimentation jusqu'aux jeux de barres BT, nous n'avons pas trouvé d'anomalie : les disjoncteurs installés ou l'association disjoncteur-fusible réalisée ont le pouvoir de coupure suffisante. Ce que nous n'avons pas vérifier avec précision, c'est le courant de court-circuit minimum calculé au paragraphe 3.3 par rapport au courant  $I_a$  qui a été défini au même paragraphe précédent. Ce point peut être étudié si l'on dispose des courbes de fusion des fusibles et des courbes de limite de contrainte thermique du câble. Ceci peut être vérifié par les exploitants et doit se faire seulement pour l'association disjoncteur-fusible. Une vérification est quand même effectuée au tableau 3.4.

Pour ce qui est des panneaux de distribution pour les circuits terminaux, les disjoncteurs installés ou à installer doivent avoir des PDC compatibles avec les courants de court-circuit des tableaux 3.1, 3.2 et 3.3.

## Chapitre 4

### Vérification du choix des câbles

Dans ce chapitre, nous essayons de déterminer la section technique de l'âme des câbles. Cette détermination de la section technique, consiste à trouver la plus petite section normalisée appartenant au type de câble choisi qui satisfait simultanément les conditions suivantes :

- échauffement normal (section  $S_j$ )
- chute de tension admissible (section  $S_2$ )
- surcharge due à un court-circuit (section  $S_c$ )
- Protection contre les contacts indirects (section  $S_p$ )

La plus grande des 4 sections  $S_j$ ,  $S_2$ ,  $S_c$ ,  $S_p$  est la section technique nécessaire à la liaison. Cette section sera enfin comparée à la section installée.

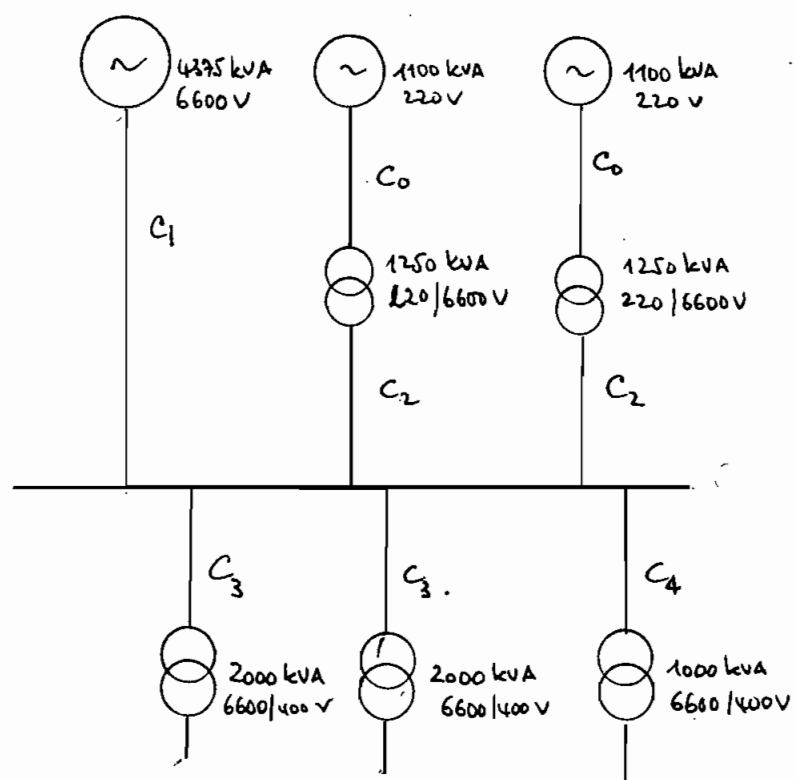
Cette vérification sera effectuée aux niveaux MT et BT. Les câbles alimentant directement les moteurs ne seront pas vérifiés. Nous calculerons aussi les câbles nécessaires au bouclage en régime d'avarie, ou en intercampagne.

## 4.1 Câbles MT

En moyenne tension, les sections à considérer sont :

- $S_j$  : la section imposée par l'échauffement du câble
- $S_c$  : la section nécessaire pour résister au court-circuit

La plus grande de ces deux sections sera retenue comme section technique



Nous faisons le calcul pour les câbles  $C_1$ ,  $C_2$ ,  $C_3$  et  $C_4$ .  
Les câbles  $C_0$  étant spécifiés par le constructeur des groupes électrogènes. Le type de câble utilisé n'étant pas connu, nous n'avons pas fait la vérification à ce niveau.

Au niveau de la MT le type de câble utilisé est  
le câble unipolaire HAVRITHENE X 22 (isolés PR) ;  
12/20 kV - 1 conducteur Cu rond câblé.  
Champ radial.

### Câble C<sub>1</sub> :

- Données :
  - Câble MT cuivre isolé au PR
  - $I_{cc}$  de court-circuit 3000 A (revoir chapitre III)
  - $t$ , temps du court-circuit 10 secondes.
  - On suppose que le court-circuit a lieu au moment où le câble fonctionne à sa température maximale, à l'ann.

La densité de courant qui peut accepter le câble est donnée par :  $d = 139 / \sqrt{t}$

$$d = 139 / \sqrt{10} = 44 \text{ A/mm}^2$$

139 = densité de courant admissible pour une surcharge de 1 seconde pour le câble considéré.

$$S_c = \frac{I_{cc}}{d} = \frac{3000}{44} = 68 \text{ mm}^2$$

$$S_c = 70 \text{ mm}^2 \quad (\text{valeur normalisée}).$$

Section  $S_j$  : la courant nominale du turbo-alternateur est de 383 A

La section suffisante pour un échauffement normal est

$$S_j = 120 \text{ mm}^2.$$

La section technique retenue est  $S = 120 \text{ mm}^2$ . Cette section est immédiatement inférieure à la section installée.

Ce qui est correct avec une marge de sécurité suffisante.

Les résultats des calculs sont présentés sous forme de tableau.  
Les calculs sont identiques au cas précédent.

Tableau 4.1 : Sections - Moyenne Tension .

câble	$S_j$ (mm <sup>2</sup> )	$S_e$ (mm <sup>2</sup> )	Section technique (mm <sup>2</sup> )	Section installée (mm <sup>2</sup> )	Observations
C <sub>1</sub>	120	70	120	150	Surdimensionnée Sécuritaire
C <sub>2</sub>	25	50	50	50	O.K
C <sub>3</sub>	35	70	70	70	O.K
C <sub>4</sub>	25	70	70 <sup>(*)</sup>	70 <sup>(*)</sup>	O.K

(\*) Les câbles C<sub>4</sub> reliant les jeux de bornes MT et les secondaires des transformateurs "Trituration" et "Annexes" n'étant pas précisées, nous avons supposé qu'ils sont de même type et de même diamètre que celui de la "Centrale".  
Par contre nous n'avons pas dimensionné les câble C<sub>0</sub> qui relie les diesel aux transformateurs de 1250 kVA. Nous ne connaissons pas le type de câble utilisé.

## 4.2 câbles BT

Dans ce paragraphe seuls les câbles reliant les tableaux principaux aux tableaux de distribution des circuits terminaux, seront vérifiés. Les sections qui ont permis à déterminer la section technique sont :

- $S_j$ , la section imposée par l'échauffement du câble
- $S_z$ , la section imposée par la chute de tension qui ne doit pas dépasser 5% de la tension nominale 380V.

Détermination de  $S_j$  : même méthode que celle décrite au paragraphe précédent.

Détermination de  $S_z$  : Connaisant les caractéristiques de la liaison :  $I$ , intensité à transporter en A ;  $L$ , longueur de la liaison en km ;  $\Delta U$ , chute de tension admissible sur la liaison ( $\Delta U = 19$  V dans notre cas).

On calcule l'impédance  $Z$  (en  $\Omega/km$ ) par la formule

$$Z (\Omega/km) = \frac{19}{\sqrt{3} I \cdot L} = \frac{11}{I \cdot L}$$

La section  $S_z$  se détermine en choisissant la valeur normalisée de l'impédance pour le cosφ retenu (0.8) égale ou immédiatement inférieure à la valeur trouvée.

Les résultats des calculs sont présentés pour chaque liaison, dans les tableaux suivants.

Le câble utilisé dans toutes les liaisons est le U1000R02V unipolaire ou tripolaire.

Tableau 4.2 DEPART CENTRALE (Q1C)

liaison	Puissance nominale (kVA)	I (A)	L (m)	$S_j$ ( $\text{mm}^2$ )	$Z$ ( $\Omega/\text{km}$ )	$S_z$ ( $\text{mm}^2$ )	Section technique retenue ( $\text{mm}^2$ )	Section installée ( $\text{mm}^2$ )
Q1C - Q2C	180	273	60	185	0.67	35	185	240
- Q3C	180	273	60	185	0.67	35	185	240
- Q4C	150	228	60	120	0.8	25	120	185
- Q5C	160	243	50	150	0.9	25	150	185
- Q6C	20	30	30	4	12.2	1.5	4	16
- Q7C	20	30	30	4	12.2	1.5	4	16
- Q8C	100	152	12	70	6.0	4	70	120
- Q9C	25	38	40	6	7.2	2.5	6	16
- Q10C	200	304	56	185	0.72	35	185	2x15
- Q11C	5	8	20	1.5	68.8	1.5	1.5	4
- Q12C	250	395	60	240	0.46	50	240	240
- Q13C	85	129	60	50	1.42	16	50	70
- Q14C	58	76	50	25	2.89	6	25	25
- Q15C	70	106	450	120	0.23	75	120	-
- Q16C	80	122	150	50	0.60	35	50	70
- Q17C	20	30	420	25	0.87	25	25	25
- Q18C	10	15	170	6	4.31	6	6	10
- Q19C	150	228	90	120	0.54	35	120	120
- Q20C	180	273	60	150	0.67	35	150	150
- Q24C	170	258	140	120	0.30	70	120	120

Tableau 4.3 : DEPART CENTRALE (Q1C). Suite

Liaison	P (kVA)	I (A)	L (m)	S <sub>1</sub> (mm <sup>2</sup> )	Z (Ω/km)	S <sub>2</sub> (mm <sup>2</sup> )	Section technique (mm <sup>2</sup> )	Section installée (mm <sup>2</sup> )
Q1C - Q22C	100	152	220	70	0.33	70	70	150
- Q23C	45	68	90	16	1.80	10	16	25
- Q24C	90	137	60	70	1.34	16	70	95
- Q25C	6.5	10	60	1.5	18.3	1.5	1.5	4
- Q30C	6	9	30	1.5	40.7	1.5	1.5	16
- Q33C	100	152	300	95	0.24	95	95	150

Tableau 4.4 : DEPART ANNEXES (Q1A)

Q1A - Q2A	14	21	30	2.5	17.5	1.5	2.5	10
- Q3A	200	304	12	185	3.01	6	185	185
- Q5A	50	76	60	25	2.41	10	25	25
- Q6A	9	14	70	1.5	11.2	2.5	2.5	16
- Q7A	20	31	70	4	5.07	4	4	16
- Q8A	17	26	50	4	7.05	2.5	4	-
- Q9A	30	46	70	10	3.42	6	10	25
- Q10A	8	12	70	2.5	13.1	1.5	2.5	10
- Q11A	350	532	100	240x2	0.21	50	240x2	240x2
- Q12A	225	342	100	240	0.32	70	240	300
- Q13A	100	152	12	70	6.03	4	70	50
- Q4A	115	175	40	95	1.57	10	95	150
- Q15A	20	31	40	4	8.57	2.5	4	16

Tableau 4.5 : Dispart TRUTURATION (Q1T)

disposition	P (kVA)	I (A)	L (m)	S <sub>j</sub> (mm <sup>2</sup> )	Z (Ω/km)	S <sub>z</sub> (mm <sup>2</sup> )	Section technique installé	section (mm <sup>2</sup> )
Q1T - Q2T	330	502	25	150x2	0.88	25	150x2	150x2
- Q3T	320	486	25	150x2	0.91	25	150x2	150x2
- Q4T	320	486	40	150x2	0.57	35	150x2	150x2
- Q5T	380	577	110	185x2	0.17	150	185x2	240x2
- Q6T	90	137	110	70	0.73	25	70	150
- Q7T	50	76	110	25	1.32	16	25	-
- Q8T	50	76	110	25	1.32	16	25	35
- Q9T	60	92	100	25	1.2	16	25	50
- Q10T	30	46	150	4	1.6	16	4	16
- Q11T	50	76	12	16	12.06	1.5	16	25
- Q12T	30	46	100	10	2.39	10	10	25

#### 4.3 : Interconnexions des départs BT

Pour pallier l'inconvénient de la distribution radiale, nous proposons le branchage des circuits BT. Consulter pour plus de détails le chapitre 5.

Nous nous proposons de faire le choix des câbles, dans ce paragraphe. Il y a pour cela deux liaisons à considérer : la liaison "Centrale" - "Trituration" et "Trituration" - "Annexes".

Cette solution sera adoptée en régime d'avarie ou en intercampagne où les charges sont réduites au minimum.

Vu les puissances d'utilisation trouvées au chapitre 2, et le fait qu'en ces régimes la puissance consommée diminue, nous avons réduit la puissance d'utilisation du départ "Centrale" de 15% ; ce qui nous donne une puissance de 1000 kVA. Ainsi la liaison "Centrale - Trituration" sera dimensionnée avec une puissance de 1000 kVA.

Pour l'autre liaison, nous prenons la puissance du transformateur "Annexes", car nous supposons que dans ce secteur les machines fonctionnent toutes durant tout le temps.

Ainsi nous utiliserons le même type de câble et la même section pour les deux liaisons, car les longueurs sont presque les mêmes : "Centrale - Trituration" 110 mètres et "Trituration - Annexes" 90 mètres.

Si nous utilisons le même type de câble BT que précédemment, nous savons que la section technique est donnée par la plus grande valeur entre  $s_j$  et  $s_2$  définies précédemment.

### Section $s_j$ :

La puissance d'utilisation étant de 1000 kVA, le courant véhiculer sera :

$$I = \frac{P}{\sqrt{3} U} = \frac{1000 \cdot 10^3}{\sqrt{3} \cdot 380}$$

$$I = 1519.3 \text{ A} \approx 1520 \text{ A}$$

Si on choisit le U1000 R02V avec 3 conducteurs (tripolaire) choisissons la section à  $240 \text{ mm}^2$  qui peut véhiculer un courant de 342 A sur une longueur maximale de 265 mètres sans que la chute de tension ne dépasse 5%.

Il nous faut donc  $\frac{1520 \text{ A}}{342 \text{ A/câble}} = 4.4$  câbles soit donc 5 câbles de section  $240 \text{ mm}^2$  tripolaire.

Ainsi le courant admissible pour une chute de tension inférieure à 5% serait de 1710 A légèrement supérieur à la valeur requise.

### Section $s_2$ :

Si on considère cette section  $s_j$  de  $240 \text{ mm}^2$ , la chute de tension est de  $0.21 \text{ V/A/km} \cdot \cos \varphi = 0.8$ .

La chute de tension réelle sur la liaison la plus longue

serait de :

$$\Delta U = \sqrt{3} I L Z_{\max} \quad \text{avec} \quad L = 0,10 \text{ km}$$

$$I = \frac{1520}{F} = 304 \text{ A}$$

$$Z_{\max} = 0.21 \Omega / \text{km}.$$

$$\Delta U = 12.2 \text{ V}$$

Si la tension aux bornes des transformateurs est de 400 V, la chute relative de tension serait de 3%, ce qui est largement admissible. Comme les normes recommandent une chute de tension maximale de 8% pour les forces motrices, il reste 5% entre les jeux de barres BT et les bornes de moteurs.

Nous retenons donc cette section de  $240 \text{ mm}^2$  qui est très courante et donc à prix abordable.

La longueur totale des deux liaisons est de 200 mètres.

Donc il faut une longueur de câble de 1000 mètres. Le câble U1000 R02V,  $240 \text{ mm}^2$ , coûtait 308 641 FF/km en 1986. En supposant une augmentation de prix de 10% par an, le prix d'achat du km de câble serait de 340 000 FF soit 17 millions de francs CFA.

#### 4.4 Conclusion

Dans ce chapitre nous avons vérifié la section des conducteurs installés par rapport aux sections techniques trouvées. Les tableaux 4.1, 4.2, 4.3, 4.4 et 4.5 montrent que

tous les sections installées sont au minimum égales aux sections techniques correspondantes. Cela est souvent du au souci d'uniformiser les commandes et de garder un nombre de diamètres de câble restreint. D'autre part cela n'est pas désavantageux, car au fur et à mesure qu'on augmente la section, on s'approche de la "section économique" pour laquelle le coût d'exploitation tenant compte de l'amortissement du prix d'achat du câble et des pertes par effet Joule est minimal.

Cette section économique est paradoxalement toujours supérieure à la section technique mais, dans un contexte où la chasse au gaspillage d'énergie devient un devoir et où chacun doit avoir le souci de faciliter la rentabilité d'un investissement, la prise en considération de la section économique devrait être la règle.

# Chapitre 5

## Etude du bouclage des circuits BT.

### 5.1. Avantages du bouclage.

Nous pouvons noter trois avantages : la possibilité d'être alimenté par un des trois circuits, l'économie réalisable en intercampagne, l'amélioration naturelle du facteur de puissance, qui en découle.

#### 5.1.1 Possibilités d'alimentation des récepteurs

Dans une distribution radiale (en arbre), tout incident sur un des transformateurs d'alimentation des départs principaux entraîne l'arrêt de tout le secteur concerné. Par exemple si le transformateur de la trituration tombe en panne ou si un disjoncteur, situé en aval (Q1T) ou en amont (disjoncteur MT 630A) tombe en panne, bien que de la puissance soit disponible aux transformateurs, il n'est pas possible d'alimenter les circuits prioritaires.

Si l'interconnexion des circuits est possible, elle doit être réalisée afin d'augmenter la fiabilité du réseau de distribution et sa flexibilité.

### 5.1.2 Economie réalisable en intercampagne

En intercampagne, le bouchage permet de garder au moins un transformateur à l'arrêt durant 4 à 6 mois.

Les pertes totales d'un transformateur de 2000 kVA fonctionnant presque à vide s'élèvent à 26.4 kW (actifs).

En conservant un des transformateurs de 2000 kVA en réserve durant la période d'intercampagne qui dure au minimum cinq mois, on réalise une économie annuelle de :

$$26.4 \text{ kW} \times 24 \frac{\text{h}}{\text{jour}} \times 30 \frac{\text{jours}}{\text{mois}} \times 5 \text{ mois} \times 80 \frac{\text{FCFA}}{\text{kWh}}$$
$$= 7.603.200 \text{ FCFA} \text{ en supposant que le kWh revient à } 80 \text{ F.}$$

A long terme, il est très avantageux de faire le bouchage pour permettre de faire fonctionner l'usine avec le minimum de transformateurs en marche.

Étant donné que le fuel entre très cher, la SEIB doit faire une étude de rentabilité de l'alimentation par la SENELEC si la puissance du réseau est suffisante. Pour faire l'étude de ce projet, il sera indispensable de déterminer l'espérance mathématique de la consommation d'énergie en intercampagne.

### 5.1.3 Augmentation naturelle du facteur de puissance

En effectuant le bouchage, on peut alimenter deux départs par un seul transformateur ou toutes les charges de l'usine par deux transformateurs en parallèle. Ainsi on élimine un gros consommateur d'énergie réactive, ce qui permet de réduire la

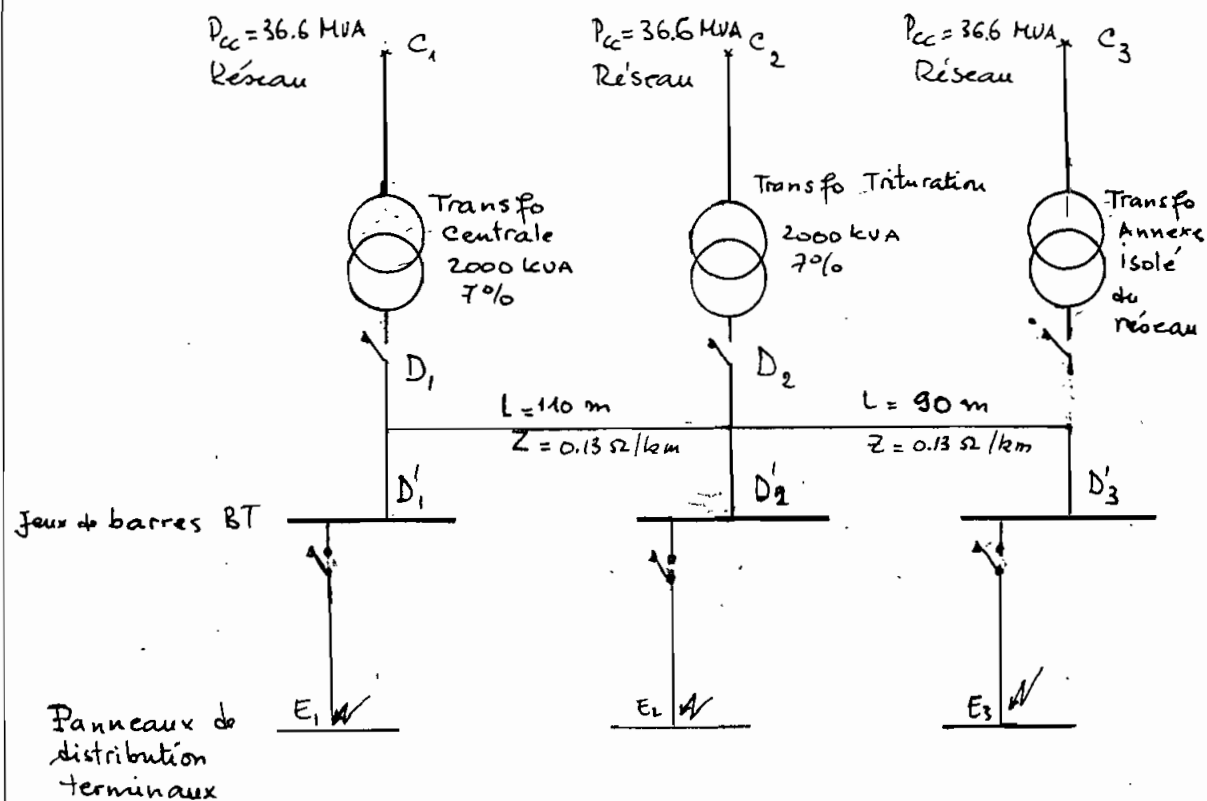
puiissance réactive appelée. Avec l'amélioration du facteur de puissance, la puissance disponible aux bornes des transformateurs sera plus grande ; ce qui permettra davantage de subvenir aux besoins en énergie électrique avec un nombre réduit de transformateurs.

## 5.2. Calcul des courants de court-circuit

Dans ce paragraphe nous réévaluons le courant de court-circuit dans le cas où le bouchage est réalisé. En régime d'avarie ou en intercampagne, on peut mettre deux transformateurs en parallèle ou trois transformateurs en parallèle.

### 5.2.1 Cas de deux transformateurs en parallèle.

Le cas le plus défavorable serait l'association des transformateurs Centrale et Trituration en parallèle.



Défaut au point D :  $I_{cc} = 24.4 \text{ kA}_{\text{eff.}}$

On obtient les mêmes résultats que ceux obtenus au chapitre III (défaut au point D). Ce sont les valeurs de courants de court-circuit en aval de ce point D qui vont changer.

Défaut au point D'.

$$Z \text{ liaison Centrale-Trituration} = 0.0143 \Omega (= 0.13 \times 0.110)$$

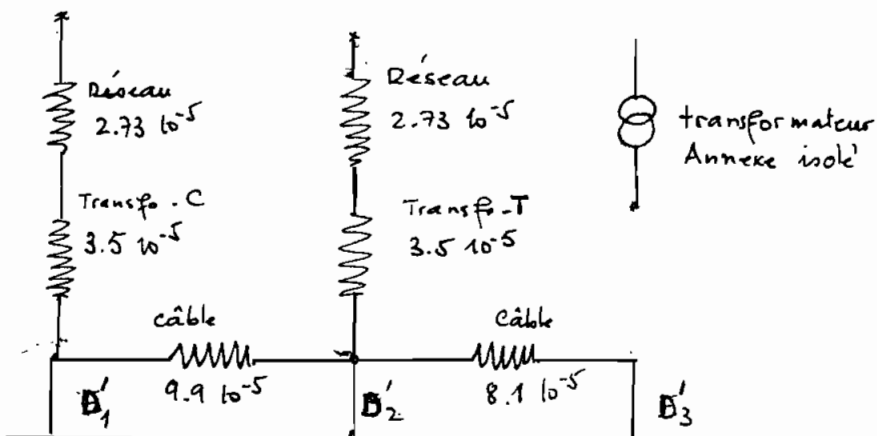
$$VA_b = 1 \text{ kVA} \quad (\text{puissance de base})$$

$$V_b = 380 \text{ V} \quad (\text{tension de base})$$

$$Z_b = \frac{380^2}{1000} = 144.4 \Omega$$

$$Z_{pu \text{ câble}} = \frac{0.0143}{144.4} = 9.9 \cdot 10^{-5}$$

Le circuit équivalent est le suivant :

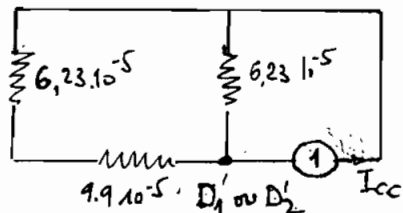


Au point D'\_1 ou D'\_2

$$P_{cc} = \frac{1}{Z_{pu \text{ tot}}} = \frac{1}{6.23 \cdot 10^{-5} + 9.9 \cdot 10^{-5}} + \frac{1}{6.23 \cdot 10^{-5}}$$

$$P_{cc} = 22.251 \text{ kVA}$$

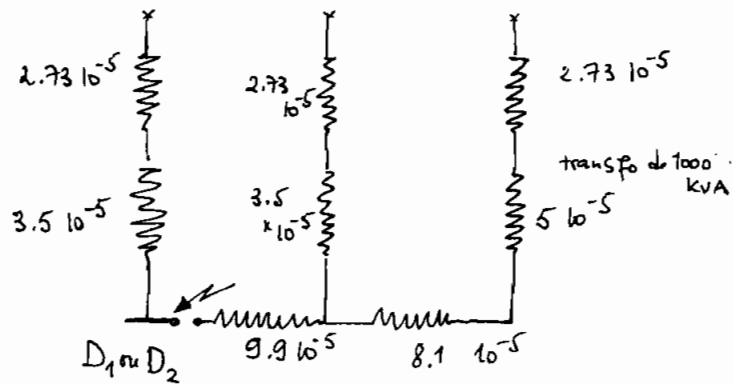
$$I_{cc} = \frac{P_{cc}}{\sqrt{3} U} = 33.8 \text{ kA}_{\text{eff.}}$$



## 5.22 Cas des trois transformateurs en parallèle.

### Défaut au point D

- Au secondaire du transformateur "Centrale" ou "Trituration" (point  $D_1$  ou  $D_2$ )

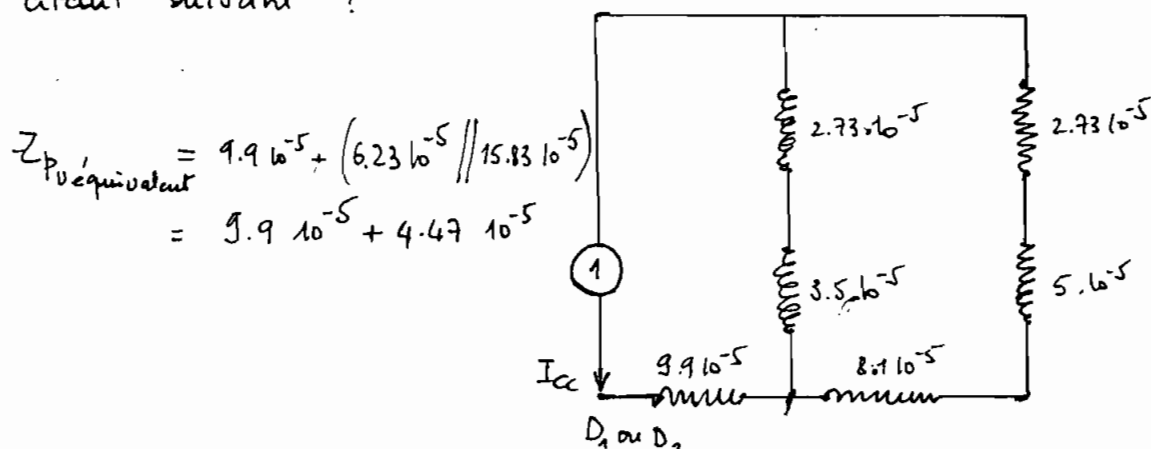


- Si on considère que l'un des transformateurs de 2000 kVA débité sur le point D, on obtient :

$$P_{cc} = \frac{1}{2.73 \cdot 10^{-5} + 3.5 \cdot 10^{-5}} = 16051 \text{ kVA}$$

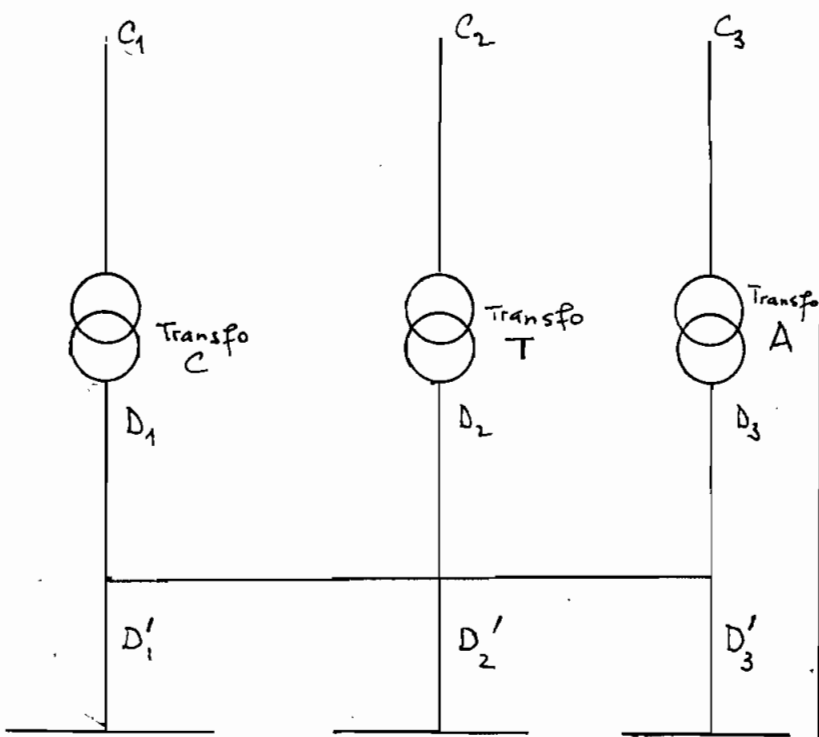
et  $I_{cc} = \frac{P_{cc}}{\sqrt{3} U} = \frac{16051}{\sqrt{3} \cdot 380} = 24.4 \text{ kA}_{eff}$

- Si on considère que l'un des transformateurs de 2000 kVA et le 1000 kVA débitent en parallèle sur le défaut, on obtient le circuit suivant :



$$P_{cc} = \frac{1}{Z_{pu, équivalent}} = \frac{1}{(9.9 \cdot 10^{-5} + 4.47 \cdot 10^{-5})} = 6,960 \text{ MVA.}$$

$$I_{cc} = \frac{P_{cc}}{\sqrt{3} U} = \frac{6,960 \cdot 10^3}{\sqrt{3} \cdot 380} = 10.6 \text{ kA}_{eff.}$$



au secondaire du transformateur "Annexes" (point  $D_3$ )

- si ce transfo débite sur le défaut :

$$P_{cc} = \frac{1}{Z_{pu_{eq}}} = \frac{1}{2,73 \cdot 10^{-5} + 5 \cdot 10^{-5}} = 12940 \text{ kVA}$$

$$I_{cc} = \frac{P_{cc}}{\sqrt{3} U} = 19.7 \text{ kAeff.}$$

- Si les deux transformateurs "c et T" débloquent sur le défaut :

le circuit équivalent est le suivant :

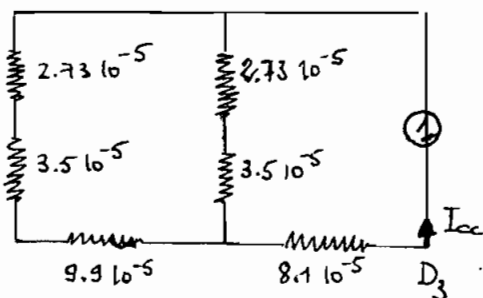
$$Z_{pu_{eq}} = (1.613 \cdot 10^{-4} // 6.23 \cdot 10^{-5}) + 8.1 \cdot 10^{-5}$$

$$Z_{pu_{eq}} = 4.49 \cdot 10^{-5} + 8.1 \cdot 10^{-5}$$

$$Z_{pu_{eq}} = 1.26 \cdot 10^{-4}$$

$$P_{cc} = \frac{1}{Z_{pu_{eq}}} = 7940 \text{ kVA} \rightarrow I_{cc} = 12.06 \text{ kAeff.}$$

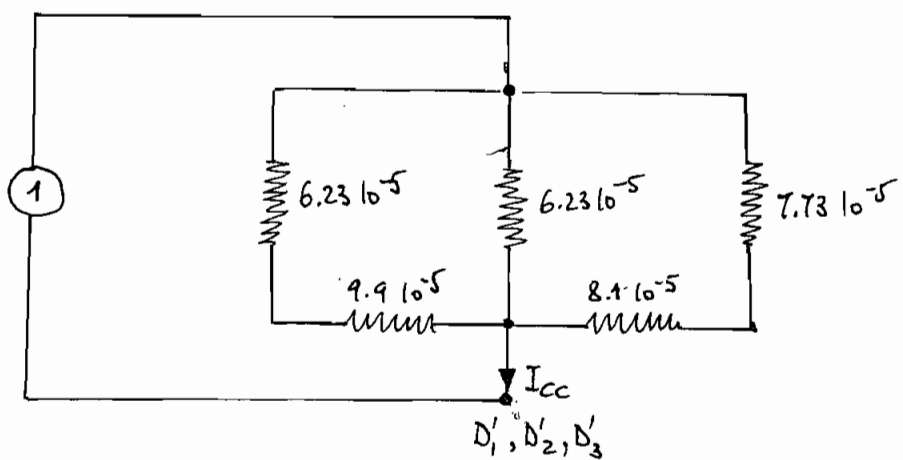
Le disjoncteur installé au point  $D_3$  doit avoir au minimum,



un pdc de 20 kA<sub>eff</sub>. Ceux installés en D<sub>1</sub> ou D<sub>2</sub> doivent avoir un pdc minimum de 25 kA<sub>eff</sub>.

Défaut au point D<sub>1</sub>, D<sub>2</sub> ou D<sub>3</sub>.

Le cas le plus défavorable serait le cas où les transformateurs débitent sur le défaut. Le circuit équivalent serait le suivant :



$$Z_{p_{eq}} = \left( 1.613 \cdot 10^{-4} \parallel 6.23 \cdot 10^{-5} \parallel 1.583 \cdot 10^{-4} \right)$$

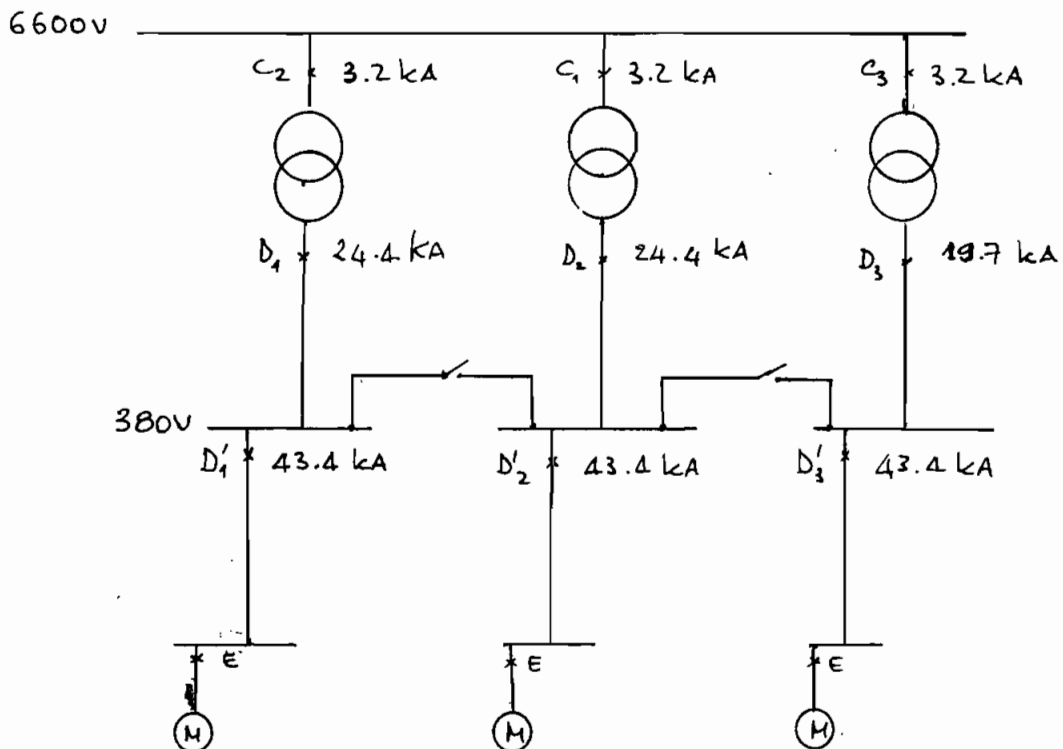
$$P_{cc} = \frac{1}{Z_{p_{eq}}} = 28568 \text{ kVA}$$

$$I_{cc} = \frac{P_{cc}}{\sqrt{3}U} = 43.4 \text{ kA}_{eff}$$

Le schéma de la page suivante indique la valeur maximale des courants de court-circuit à tous les niveaux où sont installés les disjoncteurs.

Le courant de court-circuit maximal au niveau des jeux de barres BT (380V) étant 43.4 kA<sub>eff</sub>, nous pouvons calculer le courant de court-circuit au niveau de chaque trancheau de distribution. Connaissant I<sub>cc</sub> amont, la règle de calcul de

courants de court circuit.



Tous les disjoncteurs installés aux points  $C$ ,  $D$  et  $D'$  ont des pouvoir de coupure supérieur à la valeur des courants de court-circuit maximum au niveau où ils sont situés.

Les courants de court-circuit au niveau des panneaux de distribution ( $E$ ) sont présentés aux tableaux des pages suivantes. Connaisant la section de la liaison, sa longueur et le courant de court-circuit amont (dans tous les cas ici présent on aura  $I_{cc\text{ amont}} = 43.4 \text{ kA} \approx 45 \text{ kA}$ ).

Il suffit de vérifier si tous les dispositifs de protection contre les courts-circuits en aval des panneaux de distribution ont le pdC supérieur au  $I_{cc}$  correspondant.

Si tous les récepteurs sont protégés contre les courts-circuits par des fusibles, il n'est pas nécessaire de vérifier ces courants de court-circuit par rapport au PDC.

Tableau 5.1

Départ "Centrale" :  $I_{cc \text{ amont}} = 45 \text{ kA}_{\text{eff}}$

Départ	Cu Section (mm²)	longueur (m)	$I_{cc}$ aval (au point E) (kA <sub>eff</sub> )	Départ	Cu Section (mm²)	longueur (m)	$I_{cc \text{aval}}$ (au point E) (kA <sub>eff</sub> )
Q2C	240	60	24	Q17C	25	150	5
Q3C	240	60	24	Q18C	10	100	5
Q4C	185	60	24	Q19C	120	70	17
Q5C	185	50	24	Q20C	150	60	24
Q6C	16	30	6	Q21C	120	100	13
Q7C	16	30	6	Q22C	150	200	5
Q8C	120	12	38	Q23C	25	60	5
Q9C	16	40	5	Q24C	95	40	24
Q10C	(95x2)	50	24	Q25C	-	60	-
Q11C	4	20	5	Q29C	16	60	5
Q12C	240	60	24	Q31C	6	60	5
Q13C	70	60	13	Q32C	6	60	5
Q14C	25	50	5	Q30C	16	30	6
Q15C	-	300	-	Q33C	150	300	5
Q16C	70	100	9	-	-	-	-

Tableau 5.2

Départ "Trituration"

$$I_{cc\text{ amont}} = 45 \text{ kA}_{\text{eff}}$$

Départ	Cu Section (mm <sup>2</sup> )	longueur (m)	I <sub>cc</sub> aval (point E) (kA <sub>eff</sub> )
Q2T	(150x2)	25	38
Q3T	(150x2)	25	38
Q4T	(150x2)	40	34
Q5T	(240x2)	110	24
Q6T	150	110	13
Q8T	35	110	5
Q9T	50	100	5
Q10T	16	150	5
Q11T	25	12	24
Q12T	25	100	5
Q7T	Supprimé		-

Tableau 5.3

Départ "Annexes"

$$I_{cc\text{ amont}} = 45 \text{ kA}_{\text{eff}}$$

Départ	Cu Section (mm <sup>2</sup> )	longueur (m)	I <sub>cc</sub> aval (point E) (kA <sub>eff</sub> )
Q2A	10	30	5
Q3A	185	12	38
Q4A	150	40	24
Q5A	25	60	5
Q6A	16	70	5
Q7A	16	70	5
Q8A	16	60	5
Q9A	25	70	5
Q10A	10	70	5
Q11A	(240x2)	100	24
Q12A	300	100	24
Q13A	50	10	30
Q15A	16	40	5
Q14A	Réserve non équipée.		

### 5.3 choix de l'appareillage supplémentaire

En plus du câble des liaisons électriques, le bouclage nécessite un certain nombre de dispositifs de sectionnement et de commande. Dans la solution proposée seules des interrupteurs et des sectionneurs seront utilisés (consulter le plan PFE - 002)

#### 5.3.1 choix des sectionneurs

Les manœuvres des sectionneurs ne se font qu'à vide. Nous les proposons pour des raisons de sécurité (travaux en aval). Ils ont deux positions stables (ouvert et fermé). Aucun pouvoir de coupe ou de fermeture n'est exigé. Par contre une tenue aux courants de court-circuit de courte durée, dans le cas où ils sont fermés, est demandée ainsi que des caractéristiques d'endurance mécanique. En outre ces appareils ont des prix abordables.

#### 5.3.2 choix des interrupteurs

Ces appareils de commande (manuel ou électrique à l'ouverture) doivent être capable de couper ou de fermer un circuit en service normal. Ils ont aussi deux positions stables (fermé ou ouvert). Ils n'assurent pas de fonction de protection, mais ils doivent avoir une tenue aux courants de court-circuit de courte durée dans le cas où ils sont fermés, des caractéristiques d'endurance mécanique et électrique et enfin un pouvoir de coupe et de fermeture en fonctionnement normal et en fonctionnement occasionnel. Ces interrupteurs (au nombre de deux) sont pour les circuits inductifs de  $\cos\phi = 0.8$  en fonctionnement normal.

Pour les fonctionnements occasionnels, prévoir  $2 \times I_n$  (3000 A) à  $\cos\phi = 0.8$ . Finallement leur choix doit se faire en fonction:

- des caractéristiques du réseau (tension nominale, fréquence nominale, intensité nominale et du nombre de pôles) ;
- de la fonction à assurer (seulement sectionnement et commande) ;
- de la coordination avec le dispositif de protection contre les courts-circuits amont ;
- et enfin de la classe de fonctionnement (catégories d'emploi)

### 5.3.3 Estimation du coût total du boulage.

Le prix du câble est de 17 millions environ. Si nous estimons le prix de l'appareillage et les frais divers à 15% du coût du câble, le coût total du projet serait de 20 millions.

En considérant seulement l'économie qu'on réalise en considérant les seules pertes actives d'un transfo de 2000 kVA arrêté durant la période d'intercampagne durant 5 mois, le délai de récupération serait de 3,43 ans pour un taux d'actualisation de 13%.

En outre la souplesse et la fiabilité du réseau de distribution en seront grandement améliorées.

## 5.4 Manoeuvre en régime d'avarie

Pour passer d'un régime de fonctionnement à un autre, il faut effectuer certains manœuvres. Comme dans tous les départs les sectionneurs sont en position fermée en régime normal, si un des départs est en défaillance, il faut avant tout isoler le transformateur correspondant en ouvrant le disjoncteur en amont de ce transformateur. Ensuite on ouvre le sectionneur du départ concerné. En régime d'avarie nous avons le tableau ci-dessous qui montre l'état des dispositifs de protection, de commande et de sectionnement.

Appareillage		Régime normal	Avarie du Transformateur		
	Disjoncteur HT		T.C	T.T	T.A
Disjoncteur	D <sub>C</sub>	1	0	1	1
	D <sub>T</sub>	1	1	0	1
	D <sub>A</sub>	1	1	1	0
Sectionneur	S <sub>C</sub>	1	0	1	1
	S <sub>T</sub>	1	1	0	1
	S <sub>A</sub>	1	1	1	0
Interruuteur	I <sub>T-C</sub>	0	1	1	0 <sup>(*)</sup>
	I <sub>T-A</sub>	0	0 <sup>(*)</sup>	0 <sup>(*)</sup>	1
Disjoncteur BT	Q <sub>1C</sub>	1	1	1	1
	Q <sub>1T</sub>	1	1	1	1
	Q <sub>1A</sub>	1	1	1	1

### Légendes pour la lecture du tableau.

T.C. : Transformateur départ "Centrale".

T.T : Transformateur départ "Trituration"

T.A : Transformateur départ "Annexes"

$D_C$ ,  $D_T$ ,  $D_A$  = disjoncteurs MT pour respectivement les départs "Centrale", "Trituration", "Annexes".

$S_C$ ,  $S_T$ ,  $S_A$  : Sectionneurs en aval des transformateurs T.C, T.T et T.A

$I_{T-C}$  = interrupteur pour la liaison Centrale-Trituration

$I_{T-A}$  = interrupteur pour la liaison Annexes-Trituration

$Q1C$ ,  $Q1T$ ,  $Q1A$  = disjoncteurs BT des départs "Centrale", "Trituration", "Annexes".

0 : Hors service pour les transformateurs ; ouvert pour les autres.

1 : En service pour les transformateurs ; fermé pour les autres.

(\*) Cette valeur peut être 1 : ce cas correspondrait à la mise en parallèle des deux transformateurs en service en parallèle.

Remarque : l'ordre de priorité des manœuvres n'est pas spécifié mais prendre garde de ne jamais manœuvrer les sectionneurs en charge. En régime normal tous les deux interrupteurs sont ouverts donc en cas d'avarie, ouvrir le disjoncteur MT correspondant avant d'ouvrir le

sectionneur concerné. Les interrupteurs se ferment après toutes les manœuvres.

### 5.5 conclusion

Nous avons fait l'étude du boudage dans le but d'améliorer le rendement des installations. Cette préoccupation est d'abord motivée par le souci de ne pas gaspiller des ressources qui pourrait faire défaut à plus ou moins long terme, mais elle l'est aussi par le désir de pratiquer une meilleure gestion. Il est dommage que nous pouvons faire aucun calcul économique très précis, car ne disposant pas du prix de revient du kWh produit par le turbo-alternateur ou par les groupes électrogènes.

En période d'inter-campagne, au moment où beaucoup de machines de la trituration sont arrêtées, la société économiserait une somme de 7.6 millions CFA pour 80F le kWh. seulement au cours de cette période. Ce qui fait une somme de 76 millions de francs CFA dans 10 ans en supposant que la consommation soit constante durant cinq mois par an.

D'autre part un autre projet de gestion serait l'alimentation par la SENELEC en période de charge réduite. C'est un investissement qui pourrait faire économiser à la SEIB des sommes importantes de telle manière que le délai de récupération ne dépasse pas cinq années.

# chapitre 6

## Compensation de l'énergie réactive

### 6.1 L'énergie réactive.

L'énergie réactive pose, auprès d'un certain public pour une notion mystérieuse. Souvent même l'ingénieur interrogé sur la nature de cette grandeur physique ne se sent pas à l'aise, car, s'il a l'habitude de calculer avec des variables complexes, le terme même d'« imaginaire » le trouble lorsqu'il doit expliquer pourquoi cela entraîne des dépenses très réelles de production et de transport.

Un conducteur, porté à un certain potentiel  $V$  et traversé par un certain courant  $I$ , est entouré par un champ électromagnétique. Celui-ci se compose de deux vecteurs :

- le champ électrique  $\vec{E}$
- et le champ d'induction magnétique  $\vec{B}$ .

L'existence de ces deux champs est nécessaire pour qu'il y ait transmission d'énergie. Tout processus de transformation d'énergie fait appel à l'action de l'un ou de l'autre de ces deux champs.

### 6.1.1 L'énergie réactive en régime sinusoïdal.

Considérons un appareil d'utilisation quelconque ; le réseau lui fournit, à chaque instant :

- la puissance "active",  $P_a$  (qui subit la transformation énergétique pour laquelle l'appareil a été conçu) ;
- la puissance "capacitive",  $P_c$  échangée avec le champ électrique nécessairement présent dans l'appareil et les dispositifs utilisés à son alimentation ;
- La puissance "magnétisante" ou "magnétique",  $P_m$  échangée avec le champ d'induction magnétique lui aussi nécessairement présent, qu'il soit utile ou parasite.

$$P_a = \frac{V^2}{R}$$

$$P_c = CV \frac{dV}{dt}$$

$$P_m = \frac{1}{L} V \int V dt$$

Si la tension du réseau est une tension sinusoidale  $V = V_0 \cos \omega t$ , ces expressions s'écrivent :

$$P_a = \frac{V_0^2}{2R} (1 + \cos 2\omega t)$$

$$P_c = - \frac{V_0^2 C \omega}{2} \sin 2\omega t$$

$$P_m = + \frac{V_0^2}{2L\omega} \sin 2\omega t$$

Nous retiendrons que si localement les puissances  $P_m$  et  $P_c$  sont égales en module, comme elles sont toujours de signes opposés, il y a directement échange d'énergie entre le champs électrique et

d'induction magnétique locaux ; et dans ce cas particulier le réseau n'est pas sollicité à participer à l'échange.

Avec le schéma en parallèle adopté, on a alors  $Lc\omega^2 = 1$ . Si la tension  $V$  n'est pas imposée, rien ne limite les échanges de puissances capacitive et magnétique : il y a résonance.

Dans le cas le plus fréquent où  $P_m$  et  $P_c$  ont des modules différents, le réseau doit véhiculer une puissance supplémentaire : c'est la puissance réactive qu'on désigne par  $Q$ .

$$Q = P_m - P_c$$

Convention : on dira que l'appareil auquel est fournie cette puissance réactive :

- consomme de l'énergie réactive si  $Q$  est positive
- produit de l'énergie réactive si  $Q$  est négative.

Le transit de puissance réactive accroît :

- les pertes dans le réseau puisque  $\rho = \frac{R(P^2 + Q^2)}{V^2}$

- les chutes de tension puisque  $\frac{dV}{V} = \frac{RP + XQ}{V^2}$

### 6.1.2 Facteur de puissance.

La représentation vectorielle des grandeurs caractéristiques de l'état du réseau conduit à figurer la puissance réactive  $Q$  par un vecteur orthogonal à celui qui figure  $P$ , la puissance active ; leur somme vectorielle donne la puissance apparente  $S$ .

En effet, on définit le facteur de puissance comme la valeur moyenne du rapport :

$$\frac{P}{S} = \cos\varphi \quad S = \sqrt{P^2 + Q^2}$$

$$\operatorname{tg}\varphi = \frac{Q}{P}$$

On obtient une expression des pertes en fonction de  $\cos\varphi$  :

$$\rho = \frac{RP^2}{V^2} (1 + \operatorname{tg}^2\varphi)$$

De même pour la chute de tension, on a :

$$\frac{dV}{V} = \frac{RP(1 + \frac{X}{R} \operatorname{tg}\varphi)}{V^2} = \frac{RP(1 + \operatorname{tg}\psi \operatorname{tg}\varphi)}{V^2}$$

$$= \frac{XQ(1 + \operatorname{cotg}\psi \operatorname{cotg}\varphi)}{V^2}$$

avec  $\psi = \arctg(X/R)$  : argument de l'impédance du réseau.

## 6.2 Inconvénients d'un faible facteur de puissance

### 6.2.1 Intensité plus élevée que celle nécessaire au travail réel fourni.

La consommation d'énergie réactive est onéreuse car elle conduit à un courant efficace, pour une puissance active donnée, - d'autant plus élevé que le facteur de puissance est faible.

$$I = \frac{P}{\sqrt{3}U \cos\varphi}$$

Par conséquent le dimensionnement de tous les éléments du réseau est conditionné par l'échauffement, qui est défini par la valeur efficace du courant.

### 5.2.2 Augmentation des pertes en ligne.

La résistance des conducteurs si largement calculés qu'ils soient, provoque toujours des pertes wattées qui s'ajoutent à la consommation active de l'installation. Ces pertes sont proportionnelles au carré du courant transporté qui pour une même puissance active, augmente au fur et à mesure que le facteur de puissance diminue.

Les pertes en ligne en triphasé s'exprime par :

$$p = R \left( \frac{P^2 + Q^2}{U^2} \right) = R \frac{S^2}{U^2} = \frac{R(\sqrt{3}UI)^2}{U^2}$$

$$p = \sqrt{3}RI^2 \quad \text{or} \quad I_a = I \cos\varphi$$

$$\text{d'où } p = \sqrt{3}R \left( \frac{I_a}{\cos\varphi} \right)^2.$$

Pour une puissance active constante  $I_a$  est constante, (composante active du courant efficace).

$$\text{Donc } p = (\sqrt{3}RI_a^2) \cdot \frac{1}{\cos^2\varphi}$$

### 5.2.3 Diminution de la puissance active disponible au transformateur ou source d'alimentation.

Lorsque le facteur de puissance est faible, la puissance apparente pour une même puissance active est grande.

Par exemple le facteur de puissance de la SEIB est de 0.65, soit un  $\operatorname{tg}\varphi$  égal à 1.2. Donc

$Q/P = 1.2$  : La puissance réactive est supérieure à la puissance active de 20%. Si pour une raison quelconque si cette tg $\varphi$  augmente à 1.7 ( $\cos\varphi=0.5$ ) la puissance apparente nécessaire serait plus grande, car la puissance réactive nécessaire devient supérieure à la même puissance active de 70%.

On a:  $S = P/\cos\varphi$ .

Si  $\cos\varphi$  diminue,  $P$  restant constante,  $S$  devient plus grande.

#### 6.2.4 Augmentation de la chute de tension.

L'expression de la chute de tension en triphasé est :

$$\Delta U = \sqrt{3} I L Z_{\max}$$

où  $I$  = courant transporté en A

$L$  = longueur de la liaison en km

$\Delta U$  = chute de tension admissible (V).

$Z_{\max}$  = impédance de la ligne en ( $S2/km$ ).

La chute de tension réelle étant :

$$\Delta U = \sqrt{3} (R I \cos\varphi + X I \sin\varphi)$$

$R$  et  $X$  étant la résistance et la réactance du câble.

En valeur relative, cette relation donne :

$$\frac{\Delta U}{U} = \frac{R P + X Q}{U^2} \text{ - ce qui veut dire que}$$

pour une même puissance active  $P$ , plus  $Q$  augmente, plus  $\frac{\Delta U}{U}$  augmente. Plus le facteur de puissance devient faible, plus la chute relative de tension augmente.

### 6.3 Causes des faibles valeurs du $\cos\phi$ .

Les causes des faibles valeurs du facteur de puissance sont constituées par l'effet du fonctionnement des gros consommateurs de courant réactif ( $I_r$ ). Ces consommateurs sont généralement répartis en deux groupes :

- le groupe lié aux circuits magnétiques :

- les moteurs qui consomment 20 à 60 % de la puissance réactive totale
- les transformateurs 5 % à 10 % de  $Q$
- les fours à induction qui ont un  $\cos\phi_{moyen} = 0.20$

- le groupe lié à l'arc électrique :

- four à arc de  $\cos\phi_{moyen} = 0.7$
- lampes fluorescentes
- postes de soudure à l'arc de  $\cos\phi_{moyen} = 0.35$

L'énergie réactive peut s'exprimer, pour chaque machine ou équipement qui en consomme, par :

$$Q = UI_r \quad I_r = I \sin \phi. \text{ (courant réactif)}$$

$$Q = \frac{B_m^2 V \cdot \omega}{2 \mu} \quad \begin{aligned} V &= \text{volume de substance} \\ &\text{aimantée} \end{aligned}$$

$\omega$  = pulsation du réseau

$B_m$  = induction maximale

¶ L'énergie réactive varie donc en fonction de l'induction magnétique maximale et du volume de fer présent.

### 6.3.1 Mauvais choix des moteurs asynchrones

Pour tous les moteurs électriques, nous observons que :

1°) Dans les limites d'emploi (entre la marche à vide et la marche à pleine charge) le facteur de puissance s'améliore avec la charge

2°) le facteur de puissance est faible à vide (environ 0.1 à 0.15) ; à pleine charge il atteint 0.8 pour les petits moteurs et 0.90 pour les gros moteurs.

3°) Pour un moteur bien construit, le point de fonctionnement correspond au maximum de  $\cos\phi$ .

Les conséquences qui s'en déduisent sont :

- Il y a inconvénient sérieux, au point de vue consommation d'énergie réactive, à utiliser un moteur de puissance trop grande par rapport à la puissance nécessaire.

- L'emploi de plusieurs petits moteurs entraîne une consommation d'énergie réactive plus grande que celle d'un gros moteur de puissance équivalente (inconvénient de la commande individuelle de machines-outils).

Le surdimensionnement des moteurs est la plus importante cause d'un faible facteur de puissance.

### 6.3.2 Réparation et entretien des moteurs.

Dans le cas où les moteurs ont été rebobinés ou si les paliers sont usés l'entrefer (stator - rotor) s'entrouve de plus souvent modifié. Or si l'entrefer augmente,

le courant réactif augmente . Ce qui affaiblit davantage le facteur de puissance .

## 6.4 Méthodes de compensation de l'énergie réactive.

Pour compenser l'énergie réactive , consommée par une installation , il existe deux méthodes de le faire :

- la méthode naturelle qui nécessite peu d'investissement
- la méthode artificielle qui nécessite l'achat de nouveaux équipements .

Cependant pour trouver la solution optimale , on peut être amené à combiner les deux méthodes .

### 6.4.1 La méthode naturelle .

Elle consiste au respect de certaines règles qui décrivent du comportement physique des équipements face aux conditions d'exploitation .

Pour les transformateurs et les moteurs , l'énergie réactive consommée varie peu entre le fonctionnement à vide et le fonctionnement en charge . A faible charge et à vide leur facteur de puissance est très faible .

Il faut donc éviter :

1. la marche à vide et à faible charge des moteurs asynchrones et des alternateurs ;

2. le surdimensionnement des moteurs et transformateurs;
3. la mauvaise réparation des moteurs et l'usure des poulies

Ce qu'il faut faire :

4. Changer les connections des bobinages des moteurs asynchrones
5. Faire un bon choix des moteurs : les moteurs d'induction conviennent fort bien pour actionner des machines à des vitesses supérieures à 500 tr/mn. Cependant, aux vitesses inférieures ils deviennent encombrants et coûteux. En plus leur facteur de puissance et leur rendement sont d'autant plus réduits que la vitesse est basse. A ces basses vitesses l'emploi des moteurs synchrones devient particulièrement avantageux car, quelle que soit leurs vitesses, leurs facteur de puissance sont toujours réglés à 100% et leurs rendements demeurent élevés. Bien que la construction de ces moteurs soit plus compliquée, leur coût et leur poids sont souvent inférieurs à ceux des moteurs asynchrones de même puissance tournant à la même vitesse. L'autre avantage du moteur synchrone est la fourniture de l'énergie réactive. D'autre part, un moteur synchrone développe un plus grand couple au démarrage qu'un moteur asynchrone, car on peut augmenter la résistance de sa cage d'écrouïl sans nuire au rendement et au glissement en régime permanent.

## 6.4.2 La méthode artificielle.

Cette compensation est réalisée avec l'emploi de récepteurs

### 6.4.2.1 Machines tournantes.

Il s'agit de machines synchrones ou asynchrones compensées qui peuvent fonctionner

- soit en compensateur pur
- soit en moteur fournissant de la puissance mécanique à une machine et de la puissance réactive au réseau.

Ces machines ont un enroulement d'excitation fournissant l'énergie magnétisante. Le débit de puissance réactive est réglable par action sur l'excitation.

Leurs inconvénients résident dans le fait qu'elles soient encombrantes et nécessitent un entretien.

### 6.4.2.2 Condensateurs.

Les condensateurs de puissance, constituent la solution la plus économique vu que :

- leur encombrement est réduit ;
- leur installation est simple et très simple ;
- ils ne demandent pas d'entretien ;
- leur consommation est très faible ;
- leur coût est bas comparé à celui des machines tournantes si elles doivent être achetées ;
- leur mise en œuvre est facile.

Cependant leurs principaux inconvénients restent :

- la génération de tensions harmoniques ;
- la création de surtension ;
- la création de surintensités à l'enclenchement.

Dans le cas des installations électriques de la SEIB ; nous appliquerons cette dernière méthode car il n'y a pas de machines tournantes disponibles pour la production d'énergie réactive. Après l'évaluation de la consommation d'énergie réactive nous déterminerons la puissance des batteries de condensateurs nécessaire pour relever le facteur de puissance.

## 6.5 Evaluation de la consommation d'énergie réactive - Economie réalisable -

L'annexe 3 donne la consommation et la production d'énergie active et réactive et les facteurs de puissance moyens correspondant. Les conclusions qu'on peut tirer sont que les cosφ des différents départements sont :

- 0.72 pour la Centrale ;
- 0.70 pour la Trituration ;
- 0.82 pour les Annexes ;

Le facteur de puissance globale étant de 0.7.

Le tableau 6.1 donne les consommations d'énergie et l'estimation du coût total de l'énergie. Ce coût y est comparé au coût de l'énergie à un cosφ de 1.

Dans l'évaluation des coûts de l'énergie électrique consommée, nous avons appliquée la Tarification MT de la SENELEC. Nous avons considéré que le prix de revient du kWh produit est égale au prix de vente du kWh de la SENELEC (Actif HP tarif  $K_1$ ) : Pour la Moyenne tension (TG), on obtient le tableau suivant.

$K_1$ (0 à 18h 23 à 24h)	$K_2$ (18h à 23h)	Prime fixe par kw
46.06 FCFA /kwh	66.45 FCFA /kwh	1900.00 FCFA

Ce tableau donne la tarification général MT (tension  $\leq 30$  kV)

Etant donné que nous ne disposons pas du prix de revient du kWh produit par la SEIB, (ce coût du kWh n'a jamais été déterminé) nous avons supposé que ce prix de revient était le même que le prix de vente du kWh produit par la SENELEC. Dans l'évaluation du coût de l'énergie, nous n'avons pas tenu compte des primes fixes qui dépendent de la puissance souscrite et du facteur de puissance.

Tous les évaluations de coût d'énergie sont effectuées avec le tarif  $K_1$ , le plus faible.

D'autre part les facteurs de puissance mensuels du tableau 6.1 sont tous compris entre 0.7 et 0.75. Une majoration de 10% est appliquée au prix de l'énergie et à la prime fixe. Une minoration des tarifs prime fixe et prix de l'énergie de 0.75% par centième de  $\cos\phi > 0.95$  est aussi appliquée.

Mois	JANV.	FÉV.	MARS	AVRIL	MAI	JUIN	JUIL.	AOÛT	SEPT.	OCT.	NOV.	DÉC.
$\cos\phi$	0.72	0.70	0.70	0.68	0.70	0.70	0.75	0.72	0.74	0.73	0.70	0.72
Puissance active consommée (MWh)	610.4	1110.6	1348.5	1163	820.2	961.5	423.8	408.2	406	361	365.3	400.2
Coût de l'énergie consommée (millions de F. CFA)	30.9	56.3	68.3	58.9	41.6	48.7	21.5	20.7	20.6	18.3	18.5	20.3
Coût de l'énergie consommée à $\cos\phi$ supérieur à 0.95 ( $\cos\phi=1$ ) (millions F. CFA)	27	49.1	59.6	51.4	36.3	42.5	18.7	18.0	17.9	16.0	16.2	17.7
Economie réalisable (millions de F CFA)	3.9	7.2	8.7	7.5	5.3	6.2	2.8	2.7	2.7	2.3	2.3	2.6

Tableau 6.1 : Évaluation du coût de l'énergie consommée en 1986  
Economie réalisable avec un  $\cos\phi = 1$ .

Le tableau 6.1 montre que si le prix de revient du kWh était égal au celui de la SENELEC, l'amélioration du facteur de puissance permettrait d'économiser au minimum 2.3 millions de FCFA par mois en 1986. Avec un facteur de puissance de 1, la société aurait économisé en 1986 54.2 millions de FCFA. Ce qui doit motiver les responsables de la production et de la distribution de l'énergie électrique à entreprendre une amélioration du facteur de puissance.

Il existe plusieurs méthodes pour trouver la valeur optimale à donner au facteur de puissance.

## 6.6 Optimisation économique des batteries de condensateurs.

### 6.6.1 Politique générale de la compensation de l'énergie réactive.

La plupart des appareils d'utilisation sont des consommateurs d'énergie réactive, puisqu'ils fonctionnent grâce à un champ magnétique. Par conséquent les réseaux à moyenne et/ou basse tension sont toujours des consommateurs d'énergie réactive.

La compensation de cette énergie réactive procure des économies dans l'exploitation des réseaux de distribution : diminution des pertes et amélioration de la qualité de la tension. La solution idéale, du point de vue technique serait la fourniture d'énergie réactive par des sources localisées

à côté des appareils consommateurs.

Néanmoins il est évident que plus on subdivise la production d'énergie réactive, plus cela entraîne des dépenses élevées, ne serait-ce que par la multiplication, alors nécessaire de l'appareillage de commande et de protection.

Sa politique générale optimale est celle qui conduit aux dépenses globales minimales ; ces dépenses étant la somme d'une part, du coût d'achat et d'exploitation des condensateurs et de leur appareillage annexe, et d'autre part du coût actualisé des pertes dans les réseaux de distribution et de transport et de la qualité de la tension.

Dans le cas de la SEIB, nous utilisons le critère du délai de récupération du capital investi pour le choix de la compensation optimale.

### 6.6.2 Délai de récupération du capital.

Il permet de se passer de la durée de vie de l'installation. En effet, on cherche à connaître le temps au bout duquel la somme des gains actualisés est devenue égale à l'investissement.

$$A(Q) = \sum_1^n (D_0 - D(Q)) (1+i)^{-n}$$

où  $A(Q)$  = le coût de l'investissement fait à l'origine pour une batterie de puissance  $Q$  kvar

$D_0$  : la dépense annuelle d'énergie réactive dans la solution sans compensation.

$D(Q)$  : la dépense annuelle d'énergie réactive avec la batterie  $Q$ .

$i$  = taux d'actualisation (nous prendrons le taux de 13% qui est celui du marché).

$n$  = le nombre d'année pour que la relation soit vérifiée.

Dans tous nos calculs, nous supposons que les dépenses d'énergie réactive sont constantes d'une année à l'autre. Ce qui permet de trouver la valeur de l'inconnue  $n$  par la formule :

$$n = - \frac{\log \left[ 1 - \frac{A(Q) \cdot i}{D_0 - D(Q)} \right]}{\log (1 + i)}$$

La batterie dont la puissance  $Q$  correspond à un nombre  $n$  minimal sera considérée comme étant la solution optimale.

### 6.6.3 Détermination des batteries de condensateurs.

- Choix du niveau de tension : Une tension élevée aboutit à un coût moindre, mais si l'on utilise un autotransformateur ou un transformateur ordinaire pour brancher la batterie sur la MT (6600V) le prix du transfo s'ajoute à celui de la batterie. De plus le transformateur entraîne des pertes actives. C'est pourquoi la compensation est généralement réalisé directement sur le basse tension.

- Les lieux que nous choisissons sont les jeux de barres BT, au niveau de chaque départ. Cette solution est écono-

mique car toute la puissance nécessaire est concentrée au un point pour chaque départ et les transformateurs sont soulagés. En plus le choix de la puissance fait intervenir le coefficient de foisonnement et conduit à des batteries moins puissantes.

Le seul désavantage est le fait que les installations en aval ne sont pas soulagées car le courant circulant dans le câble n'est pas diminué.

Le tableau 6.2 de la page suivante donne la puissance d'utilisation de chaque départ, le facteur de puissance moyen et la consommation d'énergie active moyenne annuelle.

Les pénalités n'étant pas connues sauf dans le cas où l'usine est alimentée par la SENELEC (Puissance souscrite 50 kVA), nous n'avons pas fait le calcul des valeurs optimales des facteurs de puissance pour chaque départ. Nous avons présenté dans les tableaux 6.3 à 6.5, les puissances des batteries de condensateurs pour obtenir un  $\cos \phi$  déterminé.

Dans le cas où une extension est prévue, l'amélioration du facteur de puissance permet d'éviter l'achat d'un nouveau transformateur.

Dans le tableau 6.6, nous présentons les résultats de la méthode de la durée de récupération du capital investi appliquée à l'alimentation par la SENELEC. En cas de panne, les Bourcaux et la Vinaigrerie sont alimentés par le transformateur aérien de 50 kVA. Nous avons pris le facteur de puissance de la Vinaigrerie.

Tableau 6.2 : Puissance d'utilisation et consommation  
d'énergie active moyenne annuelle.

Départ	Puissance d'utilisation (kVA)	$\cos\varphi$ moyen	Consommation moyenne annuelle (MWh)
CENTRALE	1180	0.7	3810
TRITURATION	810	0.7	3600
ANNEXES	570	0.8	3100

Tableau 6.3 : Détermination de la batterie de condensateurs  
Départ : CENTRALE ( $\cos\varphi_{actuel} = 0.70$ )

$\cos\varphi$ après compensation	0.80	0.85	0.90	0.95	1
Puissance des batteries de condensateur (kvar)	225	350	445	575	850
Coût estimé de l'investissement (millions de F. CFA)	3.16	4.83	6.21	8.00	11.74

$\cos\phi$ après compensation	0.80	0.85	0.90	0.95	1.00
Puissance de la batterie de condensateurs (kvar)	150	240	300	390	580
Coût estimé de l'investissement (millions de F. CFA)	2.07	3.34	4.14	5.41	8.00

Tableau 6.4 : Détermination de la batterie de condensateurs

Départ : TRITURATION ( $\cos\phi_{actuel} = 0.70$ )

$\cos\phi$ après compensation	0.8	0.85	0.90	0.95	1.00
Puissance de la batterie de condensateurs (kvar)	-	70	120	190	240
Coût estimé de l'investissement (millions de F. CFA)	-	1.03	1.72	2.65	4.72

Tableau 6.5 : Détermination de la batterie de condensateurs

Départ : ANNEKES. ( $\cos\phi_{actuel} = 0.80$ )

La vinaigrerie a un facteur de puissance de 0.66 (consulter la table A3.10 et l'annexe A3). Les bureaux ont un bon facteur de puissance (0.94). Le tableau 6.6 donne les délais de récupération des investissements avec un taux d'actualisation de 13% et de 9%. La solution optimale correspond à un coscf de 0.83. La puissance de la batterie est de 12 kvar qui, contre 131 600 F. CFA chez Merlin Gerin. Nous avons appliqué à ce coût une majoration de 40% pour tenir compte de la protection et d'une éventuelle hausse de prix. Néanmoins, nous avons un délai de récupération 14 mois.

La catégorie tarifaire que nous avons appliquée est celle de la moyenne tension (T.G.) fixé depuis le mois de Juillet 1986. Nous avons considéré le tarif K<sub>1</sub> qui correspond aux périodes : 0h à 19h et 23h à 24h.

Dans les calculs, nous n'avons pas tenu compte des gains possibles sur les pertes Joule dans les canalisations. Nous avons supposé que la batterie est branchée directement au point de livraison de l'énergie.

Dans le choix de la batterie, il faut tenir compte des limitations techniques qui font que les performances de la batterie se dégrade dans le temps.

Tableau 6.6 : Détermination de la batterie de condensateurs à installer sur le jeu de bars BT de l'alimentation par le SENELEC : VIN ALGERIE  
 (Méthode du délai de récupération du capital )

Condensa- teurs (kVar)	$\cos\varphi$ atteint	Coût des condensateurs installés (F. CFA)	Coût de l'énergie réactive (F. CFA)	Délai de récu- pération avec un taux d'actualisa- tion de 13% (ANS)	Délai de récu- pération avec un taux d'actuali- sation de 9% (ANS)
0	0.66	0	176 400	—	—
5	0.71	108 360	117 600	2.65	3.82
12	0.83	184 240	0	1.19	1.14
15	0.87	253 680	0	1.69	1.61
20	0.92	386 000	0	2.33	2.18
25	0.95	399 700	0	2.86	2.65
35	0.99	462 140	-352 80	2.73	2.54
40	1.00	578 760	-44100	3.4	3.12

Le facteur de puissance optimale est de 0.83 pour un délai de récupération de 1.19 ans soit 1 an et 2 mois et 8 jours. Cependant un  $\cos\varphi$  de 0.83 à 0.87 serait acceptable.

## 6.7 Conclusion

Dans ce chapitre nous regrettons fort le fait que nous ne pouvons déterminer le facteur de puissance optimal à chaque départ. Cependant nous recommandons, au exploitant du réseau, de refaire le calcul de la détermination du facteur de puissance optimal dans tous les cas par la méthode du délai de récupération que nous avons déjà exposé dans ce chapitre. Cela sera fait dès que le coût de l'énergie sera évalué. (Projet en cours).

Pour ce qui est des ateliers alimentés par la SENELEC en cas de coupure, nous recommandons fortement de procéder à la réalisation de la compensation. Avec le facteur de puissance de la Vinaigrierie, l'entreprise perd beaucoup d'argent dans l'état actuel même si cette consommation est très faible. Par contre nous avons vu que l'investissement nécessaire coûte seulement 200 000 F CFA environ. Le délai de récupération est de 14 mois, ce qui est très rentable.

# Chapitre 7

## Conclusions et Recommandations

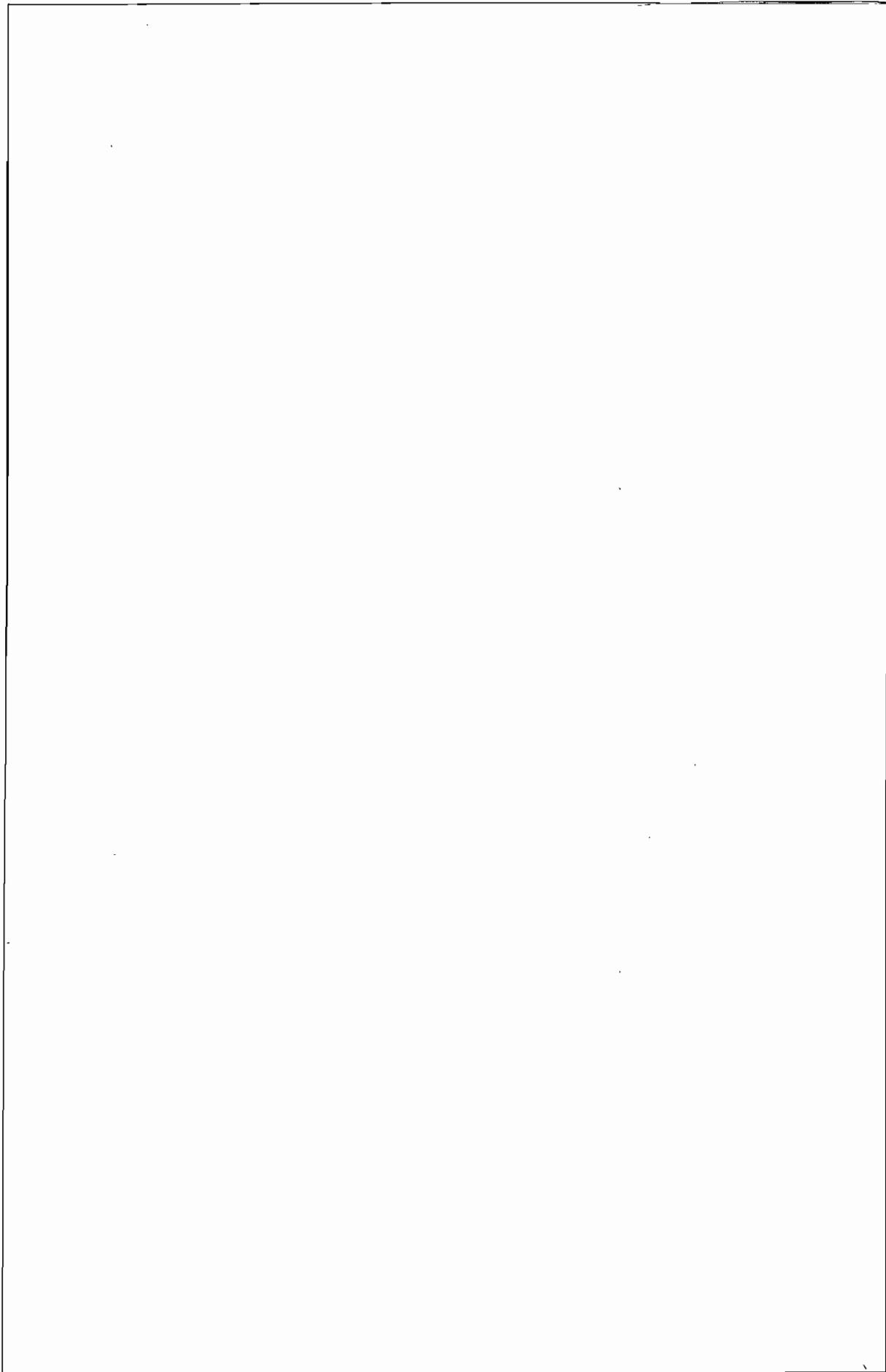
- 1 - Les groupes électrogènes et les transformateurs de l'usine accepte une extension de la puissance de 40% à 60% .
- 2 - Les pertes d'énergie dans le réseau entre 1982 et 1986 sont très élevées (12 à 20%).
- 3 - Le facteur de puissance moyen de l'usine est inférieur à 0.7 , et entraîne des pertes d'énergie et des chutes de tension excessives .
- 4 - Pour assurer le prix minimal du kWh consommé par la SEIB , on devrait comparer les coûts de la production autonome d'énergie par le turbo-alternateur , les DIESEL ou par un nouveau poste de livraison de la SENELEC (de 2000 kVA par exemple ) .

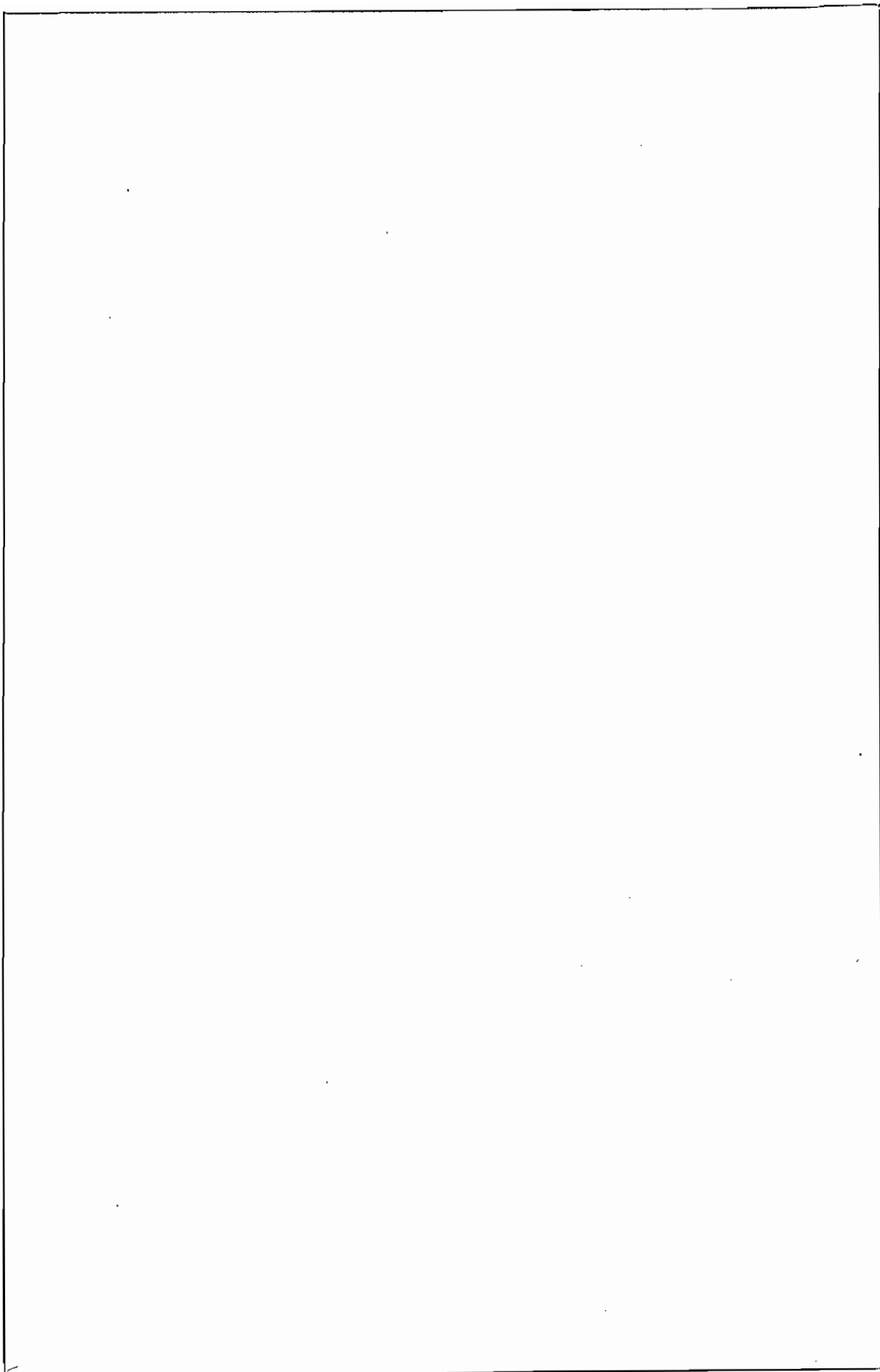
- 5 – Un relevé des courbes de charges journalières est nécessaire pour réduire les pics de puissance appelés par une planification de la demande à l'aide d'un système de délestage.
- 6 – En régime d'intercampagne (arrêt de la trituration), une alimentation par la SENELEC présente l'avantage d'utiliser un seul transformateur (celui du poste de livraison) au lieu de 5 tels que nécessaire si les deux MSEL sont utilisés. Cette solution réduit les pertes et améliore le facteur de puissance et augmente la continuité d'alimentation des consommateurs d'énergie.
- 7 – Un bouchage du réseau BT est nécessaire pour profiter des avantages cités au point 6. L'investissement estimé à quelques 20 millions de F. CFA sera amorti en moins de 4 années par les économies réalisées.
- 8 – Le bouchage des postes de transformateur côté BT proposé, peut se faire avec des câbles U1000 R02 V de  $5 \times 240 \text{ mm}^2$  par phase.

- 9 - Le calcul des courants de court-circuit maximum et minimum a montré que les câbles et l'appareillage possèdent une stabilité thermique, un pouvoir de coupe et une protection adéquats.
- 10 - Les sections des câbles BT et HT satisfont largement les conditions d'échauffement en régime normal, en court circuit et celle de chute de tension admissible.  
En plus les câbles BT permettent une protection des personnes contre les contacts indirects.
- 11 - Une amélioration du facteur de puissance global de l'usine est recommandée. Pour déterminer sa valeur optimale et la source d'énergie réactive la plus économique (condensateurs statiques ou surexcitation des générateurs synchrones), il faut étudier le prix de revient du kWh produit par la SEIB.
- 12 - Améliorer le facteur de puissance du branchement de la SENELEC en installant dans la

VINAIGRERIE des condensateurs supplémentaires de 12 à 15 kvar. L'investissement - de quelques 250 000 F CFA s'amortit en 14 mois , et permet de supprimer les pénalités .

13 - Le facteur de puissance des ateliers (NETTOYAGE, DECORTICAGE, COMMUNTRITURATIONS et PELLETISATION) est assez faible ( 0.5 ) , à cause de la sous - charge des moteurs asynchrones . Pour l'améliorer sans condensateur , donc sans investissement , on doit interchanger les moteurs pour que leur puissance appelée soit à peu près égale à leur puissance nominale . Des mesures d'énergie active et réactive moyennes journalières doivent être effectuées pour déterminer la puissance appelée et le facteur de puissance de chaque moteur .





# ANNEXES

1 - 2 - 3.

# Annexe 1 : caractéristiques électriques des récepteurs et sources

## Alternateurs :

Constructeur : JEUMONT SCHNEIDER

Alternateur TURBO ( A1 )

Type : AC - 710 . L4

Service : Continu

Protection : IP 44

Echauffement : STB RT F

Vitesse d'emballement : 1800 tr/mn

Mode d'excitation : AERT

Classe d'isolation : Stator F . Rotor F

Nombre de phase : 3

Couplage :  $\Delta$  - Y

Tension : 6600 V courant : 383 A

Puissance apparente : 4375 kVA  $\cos\phi$  : 0.8

Vitesse : 1500 tr/mn Fréquence : 50 Hz

Tension d'excitation : 128 V

Courant d'excitation : 104 V

Groupes Electro-générés: MAN 1 et MAN 2  
(ou A<sub>2</sub> et A<sub>3</sub>)

Constructeur : JEUMONT SCHNEIDER.

Type :

Service

Protection

Echauffement :

Vitesse d'emballement : 600 tr/mn

Mode d'excitation :

Classe d'isolation : Stator B . Rotor B

Nombre de phases : 3

Couplage : Δ - Y

Tension : 220 V courant : 2890 A

Puissance apparente : 1100 kVA cosφ : 0.8

Vitesse : 500 tr/mn Fréquence : 50

Tension d'excitation : 88 V

Courant d'excitation : 110 A

Moteur Diesel : 1275 cv 500 tr/mn.

## Caractéristiques des transformateurs.

Puissance (kVA)	1000	1250	2000
Primaire (V)	6600	231	6600
Tension secondaire(V)	400	6600	400
Pertes à vide (kW)	2.3	2.7	3.9
Pertes cuivre à 75°C (kW)	12.1	15	28.5
Pertes actives totales (kw)	14.4	17.7	26.4
Puissance à compenser à pleine charge (kVA)	72.5	94.5	176
Tension de court-circuit à 75°C (%) - Ucc	5	5.5	7
chute de tension en % $\cos\phi = 1$	1.33	1.34	1.36
en 3/4 de charge en % $\cos\phi = 0.8$	3.93	4.24	5.70
rendement en 3/4 $\cos\phi = 1$	98.80	98.83	98.91
de charge en % $\cos\phi = 0.8$	98.50	98.54	98.64
rendement à pleine charge en % $\cos\phi = 1$	98.58	98.60	98.70
$\cos\phi = 0.8$	98.23	98.26	98.38
Courant à vide en %	2.4	2.2	1.9

Connexion : Dyn 11 (  $P > 160 \text{ kVA}$  ) .

Récepteurs  
Départ "Centrale"

Puissance nominale : 2362 kVA

Tension nominale : 380 V

$\cos\phi$  = 0.8

Départ "Trituration"

Puissance nominale : 1660 kVA

Tension nominale : 380 V

$\cos\phi$  : 0.8

Départ "Annexes"

Puissance nominale : 1158 kVA.

Tension nominale : 380 V

$\cos\phi$  : 0.8

Type de câble utilisé :

HT : AVRUTHENE X 22 12 / 20 kV

BT : U 1000 R 02 V

Caractéristiques de disjoncteurs  
des départs secondaires et principaux.

Désignation	Type	Déclencheurs			calibre fusible associé	PdC de l'association (KA)
			(A) $I_{rh}$	$I_{rm}$ (A)		
Q1C	DSA1	3200			—	85
Q2C	H500	D320		1600/3200	—	50
Q3C	H500	D320		1600/3200	—	50
Q4C	H500	D250		1250/2500	—	50
Q5C	H500	D320		1600/3200	—	50
Q6C	H100	-	10/15	—	80	50
Q7C	H100	-	25/40	—	80	50
Q8C	H250	A200			—	50
Q9C	N100H	-	40/60	—	80	50
Q10C	H500	D400	400	2000/4000	—	50
Q11C	N100H	-	25/40	—	40	50
Q12C	H500G	G500	500	1600/2000	—	50
Q13C	H250	A200			—	50
Q14C	H250	A125			—	50
Q15C	H250	A160			—	50
Q16C	H250	A200			—	50
Q17C	N100H	-	25/40		80	50
Q18C	N100H	-	25/40		40	50

Designa- tion	Type	Déclencheurs			Calibre fusible associé	Pdc de l'associa- tion (kA <sub>d</sub> )
			I <sub>th</sub> (A)	I <sub>rm</sub> (A)		
Q19C	H500	D320	320	1600/3200	-	50
Q20C	H500	D400	400	2000/4000	-	50
Q21C	H500	G320	320	640/1280	-	50
Q22C	H250	G200	200	500/1000	-	50
Q23C	N100H	-	85/80	-	125	50
Q24C	H250	A160			-	50
Q25C	N100H	-	25/40	-	80	50
Q29C	N100H	-	15/25	-	40	50
Q30C						
Q31C	N100H	-	10/15	-	40	50
Q32C	N100H	-	10/15	-	40	50
Q1T	DSA1	3200			-	85
Q2T	C1250	D630	630	3150/6300	-	50
Q3T	H630G	G630	630	1250/2500	-	50
Q4T	H630G	G630	630	1250/2500	-	50
Q5T	C1250G	G630	630	1250/2500	-	50
Q6T	H250	A200	200			50
Q8T	H250	A125	125		-	50
Q9T	H250	A125			-	50
Q10T	N100H	-	40/60	-	80	50

Désignation	Type	Déclencheurs			Calibre fusible associé	PdC de l'association (KAcf)
			$I_{rh}$ (A)	$I_{rm}$ (A)		
Q11T	H250	A125	125		-	50
Q12T	N100H	-	40/60	-	80	50
Q1A	DSA1	2000			-	63
Q2A	N100H	-	25/40	-	80	50
Q3A	H500	0400	400	2000/4000	-	50
Q4A	H250	A200	200		-	50
Q5A	H250	A125	125		-	50
Q6A	N100H	-	15/25	-	40	50
Q7A	N100H	-	25/40	-	80	50
Q8A	N100H	-	25/40	-	80	50
Q9A	N100H	-	40/60	-	80	50
Q10A	N100H	-	10/15	-	40	50
Q11A	H630G	G630	630	1250/2500	-	50
Q12A	H500G	G400	400	800/1600	-	50
Q15A	N100H	-	25/40	-	80	50
Q13A	H250	A200	200		-	50

## ANNEXE :

### Estimation des puissances d'utilisation.

Cette estimation est basée sur la norme UTE 63-410 qui recommande l'utilisation du tableau ci-dessous se rapportant à une armoire de distribution BT groupant plusieurs circuits où les indications relatives aux conditions de charge sont défaut.

Dans le cas où l'armoire est composée principalement de circuits d'éclairage, nous avons jugé plus prudent de majorer ces facteurs à l'unité.

Tableau des facteurs de simultanéité pour armoires de distribution industrielles (selon norme UTE 63-410)

Nombre de circuits	facteur de simultanéité
2 et 3	0.9
4 et 5	0.8
5 et 9	0.7
10 et plus	0.6

Le facteur d'utilisation a été estimé à 0.8 pour les forces motrices. Pour l'éclairage et le chauffage ou la ventilation il est de 1.

## DÉPART CENTRALE

Estimation de la puissance d'utilisation.

utilisation	Puissance installée (kVA)	Puissance installée (kW)	Puissance d'utilisation (kVA)	coeff. d'utilisation 1er niveau $k_{s_1}$	Puissanc e d'utilisat ion 1er niveau (kVA)	coeff. de simul tanité 2 <sup>e</sup> niveau $k_{s_2}$	Puissanc e d'utilisat ion 2 <sup>e</sup> niveau (kVA)
Chaudière I	180	0.8	144				
Chaudière II	180	0.8	144				
Commen chaudières	150	0.8	120				
Aérocondenseurs	160	0.8	128				
Diesel MAN II	20	0.8	16				
Diesel MAN III	20	0.8	16				
Éclairage (Centrale chaufferie)	100	1	100				
Pont roulant	25	0.8	20	0.6	783	1	783
Compresseur + Sécheur	200	0.8	160				
Tableau C.C. chargeur	5	1	5				
Pompe I (incendie) forage	260	0.8	208				
Pompe II (Eau brute) aérocond.	85	0.8	68				
Evaporation	50	0.8	40				
Traitements Effluents	70	0.8	56				
Atelier-Garag - Magasin	80	0.8	64				
Stockage Arachides	20	0.8	16				
Total	1605		1305		783		783

## DEPART CENTRALE (suite)

Estimation de la puissance d'utilisation.

Utilisation	$P_{inst}$ (kVA)	$k_U$	$P_U$ (kVA)	$k_{S_1}$	$P_{U_1}$ (kVA)	$k_{S_2}$	$P_{U_2}$ (kVA)
	1605	—	1305	0.6	783	1	783
Echantillonnage	10	0.8	8				
Réception nettoyage	150	0.8	120				
Décorticage	180	0.8	144				
Extraction	170	0.8	136				
Bureaux	100	1	100	0.6	1176	1	1176
Éclairage Nett. Décort.	45	1	45				
Ventilation Centrale	90	1	90				
Départ (Centrale - chauff)	6	1	6				
Pompe à huile	6	1	6				
Départ Général CENTRALE	2362	—	1960	—	1176	—	1176

## DÉPART TRITURATION

Estimation de la puissance d'utilisation

Utilisation	Puissance installée (kVA)	Coefficient d'utilisation (ku)	Puissance d'utilisation (kVA)	Coefficient de simultanéité 1er niveau (ks1)	Puissance d'utilisation 1er niveau (kVA)	Coefficient de simultanéité 2e niveau (ks2)	Puissance d'utilisation 2e niveau (kVA)
Commun Trituration	330	0.8	264				
Presses I et II	320	0.8	256				
Presses III et IV	320	0.8	256				
Pelléttisation	380	0.8	304				
Raffinage (neutralisé)	90	0.8	72	0.6		1	
Raffinage (décol. déodo.)	50	0.8	40				
Pompeire II	60	0.8	48				
Stockage huile	30	0.8	24				
Éclairage (Triturateur Raffinage)	50	1	50				
Éclairage (Pelléttisation)	30	1	30				
Départ Général TRITURATION	1660	-	1344	-	807	-	807

## DEPART ANNEXES.

Estimation de la puissance d'utilisation.

Utilisation	$P_{inst}$ (kVA)	$k_U$	$P_U$ (kVA)	$k_{S_1}$	$P_{U_1}$ (kVA)	$k_{S_2}$	$P_{U_2}$ (kVA)
Embouteillage huile	14	0.8	11.2				
Production Eau Glacé	200	0.8	160				
Fabrication bouteilles	115	0.8	92				
Vinaigrerie	50	0.8	40				
Pastis	9	0.8	7.2				
Dentifrice	20	0.8	16				
Parfumerie	17	0.8	13.6	0.6		1	
Javel	30	0.8	24				
Embouteillage Javel	8	0.8	6.4				
Tonnellerie	350	0.8	280				
Margarinerie	225	0.8	180				
Eclairage Annexes	100	1	100				
Aérosols (DREAL)	20	0.8	16				
Départ Général ANNEXES	1158	-	947	-	569	-	569

## Annexe 5 :

- Relevés des productions et consommations d'énergie électrique (1982 à 1986).
- Mesures réalisées sur les départs BT (Janvier - Février 1987)

Tableau A3 - 1 : Production et consommation d'énergie  
électrique 1982

PRODUCTION ET CONSOMMATION ELECTRIQUE 1982

	PRODUCTION				CONSOMMATION				PERTE			
	A <sup>1</sup>	A <sup>2</sup>	A <sup>3</sup>	T.P.	C. H.W.E.	T.H.W.E.	A. H.W.E.	T.C. H.W.E.	E.P. H.W.E.	%		
Janvier	649,6	840,2	240,5	1139,3	372,7	547,6	218,1	915,1	225,2	19,7		
Février	752,5	183,4	204,9	1150,8	363,9	324,1	210,4	909,9	230,9	20		
Mars	838,5	826,4	200,7	1265,1	303,3	382,9	283	1057,2	207,9	16		
Avril	526,3	226,5	246,6	1033,4	305,8	309,7	298,9	944,4	123	14,8		
Mai	1467,3	232,1	110,2	1619,1	410,4	484,4	301,9	1202,4	207,7	14,7		
Juin	945,2	166,5	146,6	1254,8	379,2	412,9	279,9	1068	186,8	14,8		
Juillet	747,2	946,3	828,2	1224,7	387,7	379,5	277,6	994,9	226,9	18,5		
Août	940,2	211,5	224,9	1372	613,8	664,3	273,9	1164	216	15,6		
Septembre	1022,5	173	59,7	1254,2	382	419,2	223,9	1036,4	223,8	17,8		
Octobre	300,8	181,7	87,4	1169,9	373	327,1	224,4	954,5	187,4	18,6		
Novembre	246,1	267,1	266,8	778	232	456,4	333	784	57	7,3		
Décembre	836,2	63,9	73,8	873,9	323,7	238,8	242,5	805	168,9	17,3		
Total annuel	9634,1	9317,7	3069,8	14022,2	4353	4290,9	3087,5	21734,4	2200,8	16,3		

Tableau A3-2

Production et consommation d'énergie électrique 1983

d'énergie électrique 1983

	PRODUCTION ET CONSOHMATIONS ENERGIE ELECTRIQUE 1983			CONSOHMATIONS			PERTES			
	A1 MW.H	A2 MW.H	A3 MW.H	TOTAL PRODUC MW.H	CENTRALE MW.H	TRITU MW.H	ANNEX MW.H	TOTAL CONSOH MW.H	ENERG PERDUE MW.H	% Perte
JANVIER	671,7	159,4	181,7	812,8	217,7	188,4	292,5	728,6	84,2	10,36
FEVRIER	1051,3	138,2	99,1	1288,6	400,6	440,7	191,2	1037,9	250,7	19,45
MARS	1168,3	27,4	38,5	1534,8	455,3	564	259,9	1279,2	255	16,62
AVRIL	1149,4	11,4	12,	1472,9	439,7	519,5	283,7	1242,9	229,9	15,81
MAI	1373,7	42,8	42,4	1452,9	420,2	529,5	307,8	1257,5	201,4	13,8
JUIN	1112,6	118,3	105,5	1336,4	388,6	456	318,1	1162,7	173,7	13
JUILLET	1371,3	146,4	0	1517,7	424,8	580,3	308,5	1313,6	204,1	13,65
AOUT	945,2	212,2	14,5	1171,9	359,9	363,7	262,6	986,2	185,7	15,85
SEPTEMBRE	156,6	239,3	119,1	1214,8	356,9	412,1	266,5	1035,5	179,3	16,76
OCTOBRE	1013,2	161,1	0	1174,3	345	379,7	297,5	1023,2	152,1	12,95
NOVEMBRE	861,1	212,3	0	1073,4	305,9	377	246,3	929,2	144,2	13,43
DECEMBRE	1152,9	90,6	0	1243,5	375,6	397,8	287,9	1061,3	182,2	14,65
TOTAL	13126,2	1559,4	612,8	15292,4	4520,2	5214,1	3322,5	13056,8	2242,5	14,66

Le chef du service électrique

PRODUCTION ET CONSOMMATIONS D'ENERGIE ELECTRIQUE - 1984

Tableau A3-3 : Production et consommation d'énergie électrique 1984

	Production			Consommation			Portes
	MWh	MWh	MWh	MWh	MWh	MWh	
Janvier	1020,4	95,2	Annet	1115,3	362,6	283,3	231,1
Février	783,7	192,2		1127,1	321,2	335	245,3
Mars	843	40,9		1051	319,3	328,5	252
Avril	2823,5	350,2	Annet	1058,6	329,6	314	254
Mai	783,8	165,3	Annet	949,1	304,2	282,4	254,5
Juin	560,2	124,3	Annet	682	237,3	183,4	235,1
Juillet	786,2	206,3	Annet	902,3	310,8	268,6	274,2
Août	718,7	45,9	Annet	764,6	263,9	183,3	322
Septembre	711	5,6	Annet	716,6	240	92,1	245,7
Octobre	701,8	109,6	Annet	811,4	210	173,3	246,3
Novembre	638,3	245,4	Annet	853,7	282,9	203,9	232,4
Décembre	621	289,1	Annet	850,1	264,2	205,5	224,4
T.T. annuelle	3097,8	2585,9		2887,3	10942	3503	2559,3
							3002,6
							2709,2
							2101,1
							155

PRODUCTION ET CONSOMMATION D'ENERGIE ELECTRIQUE 1985

Tableau A3.4 : Production et consommation d'énergie électrique 1985

	Production				Consommation				Perte	
	A1 HwL	A2 HwL	A3 HwL	P1 HwL	C HwL	T HwL	A HwL	CT HwL	P HwL	%
Janvier	522	223,1	Arret	625,1	2246	86,2	2401,7	552,4	94,7	14
Février	582,3	216,4	Arrêt	631,5	232	166,7	225,7	630,4	6,8	9
Mars	683,3	139,4	916,2	318,9	332,1	358,9	264	930,6	168,3	15
Avril	716,6	176,9	63,5	934,2	287,6	262,6	244,2	794,6	136,6	14,6
Mai	820,4	206	Arrêt	1658,4	328,8	365,9	261,7	876,7	162	15,3
Juin	773,4	198,2	Arrêt	971,9	302,8	280	237	768,8	203,4	20
Juillet	843,1	227	2,9	407,1	345,9	300,7	287	945,6	121,4	12,1
Août	102,1	231,6	291,9	646,2	466,8	407,2	852,5	524,8	89,4	14,5
Septembre	Arret	263,9	270,1	534	162,4	83,8	247,3	492,5	61,5	7,7
Octobre	318,5	276,4	531,9	187,1	81,1	250,8	529,6	65,3	10,9	
Novembre	Arret	229,3	318,6	547,9	178	93,3	197,8	465,7	52,2	15
Décembre	Arret	227,8	311,8	539,6	129,8	25,8	297,1	452,7	36,9	16
Total annuelle	5266,3	2449,5	4034,4	9327,2	2857,6	2141,4	3006,1	8005,1	1322,1	14

Le chef de la Electricité

	Turbo-alimenteur	Man 2	Man 3	Mois
Janvier	394358 = 622	66871 = 132,5	65545 = 132,5	57820 = 132,5
Février	389138 = 622	69946 = 117,5	58195 = 117,5	53820 = 117,5
Mars	600421 = 606,3	68046 = 117,5	69871 = 117,5	394358 = 606,3
Avril	41371 = 189,9	59472 = 189,9	59240 = 189,9	425774 = 189,9
Mai	373480 = 210,9	59762 = 210,9	59762 = 210,9	416694 = 210,9
Juin	433718 = 204,9	59762 = 204,9	59762 = 204,9	425774 = 204,9
Juillet	442422 = 137,1	59762 = 137,1	59762 = 137,1	443793 = 137,1
Août	442422 = 137,1	59762 = 137,1	59762 = 137,1	443793 = 137,1
Septembre	443793 = 137,1	65573 = 137,1	62781 = 137,1	65573 = 137,1
Octobre	443793 = 137,1	68337 = 137,1	71526 = 137,1	68337 = 137,1
Novembre	443793 = 137,1	71526 = 137,1	73644 = 137,1	71526 = 137,1
Décembre	443793 = 137,1	73644 = 137,1	71526 = 137,1	71526 = 137,1

RELEVE COMPTEURS PUISSANCES ACTIVES 1985 (MW)

Tableau A3-5

	Turbo-alternateur	Man 2	Man 3	Mois
Janvier	386238	61344	46521	31/12/84
Février	380636	60216	46521	31/12/84
Mars	395538	62682	47846	28/03/85
Avril	401890	64349	47846	30/04/85
Mai	411663	64472	48306	30/05/85
Juin	4149375	69288	48306	30/06/85
Juillet	428324	70223	48325	31/07/85
Août	430149	72247	48325	31/08/85
Septembre	430149	74773	53658	30/09/85
Octobre	430149	75322	53658	30/10/85
Novembre	430149	77932	56170	30/11/85
Décembre	430149	80330	59065	30/12/85

Total eau A3-6 : RELÈVE COMPTEURS PUISSANCES RÉACTIVES 1985 (Havre)

Tableau A3-7 :

## RELEVE COMPTEURS PUISSANCES ACTIVES 1986 (MWh)

Turbo alternateur	Jan 2	Jan 3	Mois
467112	90613	76415	janvier
443793	90539 1,6	73644 277,1	février
456553	91413	77280	mars
447112	90613 = 80	76415 = 86,5	avril
466423	93010	79298	mai
456553	91413 = 159,7	77280 = 201,8	juin
475017	94385	80899	juillet
466423	93010 = 137,5	79238 = 166,1	août
480649	95642	82218	septembre
475017	94385 = 125,7	80899 = 131,3	octobre
486626	97615	83877	novembre
480649	95642 = 197,3	82212 = 166,5	décembre
486626	99517	86213	janvier
486626	97615 = 190,2	83877 = 233,6	février
486626	101222	88590	mars
486626	99517 = 170,5	86213 = 237,7	avril
486626	103074	90798	mai
486626	101222 = 185,2	88590 = 220,8	juin
486626	104442	93040	juillet
486626	103074	90798 = 226,6	août
486626	106677	94458	septembre
486626	104442 = 223,5	93040 = 161,8	octobre
486626	108828	96273	novembre
486626	106677 = 215,1	94458 = 181,5	décembre
	4286,9	1822,9	
		2262,9	

Tableau A3-8 : RELEVE COMPTEURS PUSSANCES REACTIVES 1986 (Mvarh)

Turbo-alternateur	Man 2	Man 3	Mois
4.3.3.6.3.7	82671	63208	janvier
4.3.0.1.4.9	34881140 82655	15700 60738	14.1.1986 21.1.1986
4.4.3.4.1.2.	83514	63965	14/01/86
4.3.3.6.3.2.	9775000 82671	8430000 63208	21/01/86
4.5.3.9.2.1.	85159	65669	30/01/86
4.4.3.4.1.2.	10509 83514	1645 63965	14/02/86
4.6.3.4.7.0.	86533	67151	30/02/86
4.5.3.9.2.1.	9549 85159	1374 65669	31/02/86
4.6.9.4.8.5	87757	68330	1er mars
4.6.3.4.7.0.	6015 86533	1224 67151	1478 31/03/86
4.7.6.1.6.8.	89621	69775	1er avril
4.6.9.4.8.5	6683 87757	1864 68330	1445 31/04/86
476168	91364	71809	1er mai
476168	89621	1763 69775	2034 31/05/86
476168	92940	74095	1er juin
476168	91364	1576 71809	2286 31/06/86
476168	94696	76034	1er juillet
476168	92940	1756 74095	1939 31/07/86
476168	96022	78104	1er aout
476168	94696	1326 76034	207 31/08/86
476168	98251	79591	1er septembre
476168	96022	2229 78104	1487 31/09/86
476191	100465	81495	1er octobre
476168	23 98251	2214 79594	1604 31/10/86

Tableau A3.9; Relevés compteurs d'énergie active et  
d'énergie réactive 1985 et 1986 (Productions)  
mensuelles

Mois	1985			1986		
	Puissance active : P.t (Mwh)	Puissance réactive (Q.t (Mvarh))	tgφ moyen	P.t (Mwh)	Q.t (Mvarh)	tgφ moyen
Janvier	654.5	-	-	610.4	591.4	0.97
Février	761.3	1048	1.38	1110.6	1137.5	1.02
Mars	1157.4	1158.8	1.00	1348.5	1385.8	1.03
Avril	579.1	851.8	1.47	1163	1240.5	1.07
Mai	1098.9	1185.7	1.08	820.2	841.8	1.03
Juin	999.3	993.1	0.99	961.5	999.2	1.04
Juillet	1109.8	1089.7	0.98	423.8	377.7	0.89
Août	664.9	605	0.91	408.2	386.2	0.95
Septembre	545.6	526.1	0.96	406	369.5	0.91
Octobre	594.9	967.1	0.95	361	339.6	0.94
Novembre	547.9	529.3	0.97	365.3	371.6	1.02
Décembre	439.6	405.8	0.92	400.2	381.8	0.95
Total annuel	9553.2	9360.4	0.98	8372.7	8422.6	1.01

Tableau A3-10

Relevés des mesures effectuées (Janv.Fev. 1987)  
consommation.

### DEPART CENTRALE

Désignation du départ	disjoncteur	coeff. de simultanéité (k <sub>s</sub> )	I (A)	U (V)	cosφ	P (kw)	Q (kvar)
Chaudière I	Q2C	1	169	390	0.72	47	46
Chaudière II	Q3C	1	170	387	0.72	47	46
Commun chaudières	Q4C	1	190	387	0.84	62	40
Aérocondenseurs	Q5C	1	257	390	0.80	80	60
Diesel MAN II	Q6C						
Diesel MAN III	Q7C						
Eclairage Centrale chaufferie	Q8C	1	38.5	374	0.97	14	4
Pont roulant	Q9C						
Compresseur + sécheur	Q10C	1/2	105	391	0.74	30	28
Tableau courant continu chargeur	Q11C	1	4	367	0.64	1.0	1
Pomperie I (incendie - forage)	Q12C	2/3	275	389	0.85	91	56
Pomperie I (eau brute - aéronéfrigérant)	Q13C	3/4	84	388	0.80	26	20
Évaporation	Q14C	1	78	369	0.76	22	19
Traitemenr effluents	Q15C	1	3.1	366	0.76	0.9	0.7
Atelier - Garage Magasin	Q16C	1	32	387	0.79	10	8
Stockage arachide	Q17C	1	20.2	367	0.36	3	7
Echantillonnage	Q18C	1	1.3	375	0.81	0.4	0.3
Reception Nettoyage	Q19C	1	185	367	0.52	35	58
Décorticage	Q20C	5/5	373	385	0.43	62	130
Extraction	Q21C	1	176	382	0.67	45	50

Tableau A3-10 (suite)

DEPART CENTRALE (suite)

		(A)	(V)	(kw)	(kvars)	
Bureaux	Q22C	1	83	385	0.94	30
Eclairage (Réception - nettoyage - Décorticage)	Q23C	1	19	368	0.87	6
Ventilation (Centrale Chaufferie)	Q24C	1	33	370	0.60	7
Départ centrale - chaufferie	Q25C					
Pompe à huile	Q30C					
Locaux Sociaux	Q33C					
Départ Général CENTRALE (C)	Q1C				0.72	620*
						599

$$(*) \quad \operatorname{tg} \varphi_{\text{moyen}} = \frac{Q_{\text{total}}}{P_{\text{total}}} = \frac{599}{620} = 0.97$$

$$\cos \varphi_{\text{moyen}} = 0.72.$$

Tableau A3.10 (uite) DEPART TRITURATION

Désignation du départ	Disjoncteur	coeff. de simultanéité (ks)	I (A)	U (V)	Cosφ	P (kW)	Q (kvar)
Commun Trituration	Q2T	1	343	395	0.45	61	121
Presses I et II	Q3T	1/2	386	396	0.81	124	89
Presses III et IV	Q4T	1/2	375 82	391	0.69 0.45	100 14	106 29
Pellettisation	Q5T	1	375	388	0.69	100	106
Raffinage (neutralisation)	Q6T	1	122	392	0.72	34	34
Raffinage (décr. désodo.)	Q8T	1	58	390	0.72	16	16
Pomperie II	Q9T	1	142	384	0.82	45	31
Stockage bimile	Q10T	-					
Eclairage (Trituration Raffinage)	Q11T	1	27	234	0.80	5	4
Eclairage Pellettisation	Q12T	1	12	394	0.92	4	3
Départ général TRITURATION					0.70 *	467	476

$$(*) \quad \operatorname{tg} \varphi_{\text{moyen}} = \frac{Q_{\text{totale}}}{P_{\text{totale}}} = \frac{476}{467} = 1.02$$

$$\cos \varphi_{\text{moyen}} = 0.70$$

Tableau A3.10 (suite) DÉPART ANNEXES.

Désignation du départ	Disjoncteur	coeff. de simultanéité ( $K_S$ )	I (A)	U (V)	$\cos\varphi$	P (kw)	Q (kvar)
Embouteillage Huile	Q2A	1	10.8	375	0.66	4.6	5
Production Eau Glacée	Q3A		100	384	0.83	32	21
Fabrication Bouteilles	Q4A		107	383	0.74	30	28
Vinaigrerie	Q5A		32	382	0.66	8	9
Pastis	Q6A		3	381	0.54	0.6	1
Dentifrice	Q7A		8	381	0.50	1.5	3
Parfumerie	Q8A						
Javel	Q9A						
Embouteillage Javel	Q10A						
Tonnellerie	Q11A						
Margarinerie	Q12A	1	43	380	0.81	13	10
Eclairage Annexes	Q13A	1	142	224	0.96	31	9
Aérosols (Oreal)	Q15A		2	381	0.88	0.7	0.4
Réserve	Q16A						
Départ Général ANNEXES	Q1A				0.82	125	87

$$\operatorname{tg} \varphi_{moyen} = \frac{87}{125} = 0.696$$

$$\cos \varphi_{moyen} = 0.82$$

## Bibliographie

H. RICHT , Calcul de la puissance de court-circuit dans les lignes par emploi de l'impédance réduite ,

Houille Blanche , n° 187 , 188 , 1982

MERLIN GERIN , Guide d'installation électrique ,

Déc 1982

MERLIN GERIN , Guide d'utilisation des disjoncteurs BT

MERLIN GERIN , Catalogue de distribution HT/BT , Juin 1981

MERLIN GERIN , Cahiers techniques n° 10 , 26 , 64 , 49 ,  
100

PIERRE MARKON , Cours d'Installations Électriques , 4.21

EPT , 1986

PIERRE MARKON , cours de Machines Électriques , 4.11 ,

EPT , 1986 .

A. FOUILLE , Electrotechnique à l'usage des ingénieurs ,

Tome 1 , Tome 2 , Tome 3 , Dunod , 1980

THEODORE WILDI , Electrotechnique , les presses de l'université  
de Laval , 1978 .

FRANÇOIS CAHEN , Electrotechnique Tome 1 , Circuits et réseaux en régime permanent , Gauthier Villars , 1970

HEINY et CAPLIEZ , Technologie d'électricité , Tome 1, 2 et 3 , Foucher , 1978 .

CL. REMOND , Les Installations électriques dans le bâtiment , Eyrolles , 1977

CL. REMOND , L'équipement électrique des bâtiments , Eyrolles , 1980